

И Н С Т И Т У Т
ЯДЕРНОЙ ФИЗИКИ СОАН СССР

ПРЕПРИНТ ИЯ Ф 105 - 73

В.Т.Астрелин, Н.С.Бучельникова, Ю.П.Захаров

ЗАХВАТ ПЛАЗМЫ ПРИ ПУЧКОВОЙ НЕУСТОЙЧИВОСТИ

Новосибирск

1973

В.Т.Астрелик, Н.С.Бучельникова,
Ю.П.Захаров

ЗАХВАТ ПЛАЗМЫ ПРИ ПУЧКОВОЙ НЕУСТОЙЧИВОСТИ

А Н Н О Т А Ц И Я

С помощью численного эксперимента, выполненного методом "частиц в ячейках", исследовано влияние плазмы на развитие монохроматической волны при неустойчивости монохроматического изображаемого пучка.

В случае, когда нелинейная стадия неустойчивости определяется только захватом пучка, результаты численного эксперимента для монохроматического пучка близки к теоретическим. Показано, что при малых скоростях пучка сильное взаимодействие плазмы с волной и захват плазмы приводят к уменьшению максимальной энергии электрического поля и увеличению энергии колебаний плазмы.

Явления захвата частиц волной при развитии пучковой неустойчивости в последнее время привлекают большое внимание. При взаимодействии с плазмой монохроматического или не очень сильно размытого пучка за счет быстрого нарастания гармоники с максимальным инкрементом развивается почти монохроматическая волна. Это наблюдалось в ряде экспериментов /1-4/. Основным механизмом, определяющим развитие неустойчивости в таком случае, является захват частиц волной /5/.

В ряде теоретических работ подробно исследовано развитие неустойчивости при захвате частиц пучка размытого /6-8/, и монохроматического /9,10/. Явления, связанные с захватом пучка при развитии неустойчивости, наблюдались экспериментально /1,3/ и в численных экспериментах /11,12/.

В настоящей работе методом численного эксперимента исследовалось развитие монохроматической волны при пучковой неустойчивости в условиях, когда существенным является не только захват пучка, но и захват плазмы. Эффекты, связанные с захватом плазмы, недавно наблюдались экспериментально /13/.

Рассмотрим некоторые результаты теоретической работы /10/, в которой рассматривалась неустойчивость монохроматического электронного пучка в холодной плазме. Работа выполнена методом частичного моделирования.

Предполагается, что плотность пучка мала

$$(n_1/n_0)^{1/3} \ll 1 \quad (1)$$

так что мала и амплитуда колебаний

$$e\varphi \ll mV_0^2 \quad (2)$$

здесь n_1, n_0 — плотность пучка и плазмы,
 V_0 — скорость пучка,
 φ — потенциал волны

Теория /10/ построена в предположении о линейности колебаний электронов плазмы, справедливом при выполнении условия (2). При этом энергия колебаний плазмы ΔW_p равна энергии электрического поля W_E

$$\Delta W_p = W_E \quad (3)$$

а потеря энергии пучком ΔW_b

$$\Delta W_b = W_E + \Delta W_p = 2W_E \quad (4)$$

На начальной стадии неустойчивости, когда область захвата мала по сравнению с резонансной областью

$$\sqrt{\frac{e\varphi'}{m}} / \frac{\chi}{k} \ll 1 \quad (5)$$

развитие неустойчивости происходит так же, как в линейной теории. На этой стадии максимальный инкремент

$$\gamma_{max} = \frac{\sqrt{3}}{2^{4/3}} \omega_0 \left(\frac{n_1}{n_0} \right)^{1/3} \quad (6)$$

где $\omega_0 = \sqrt{\frac{4\pi n_0 e^2}{m}}$ — плазменная частота.

Гармоника с максимальным инкрементом имеет частоту и волновое число

$$\omega = \omega_0 \left[1 - \frac{1}{2^{4/3}} \left(\frac{n_1}{n_0} \right)^{1/3} \right] \quad (7)$$

$$k = \omega_0 / V_0 \quad (8)$$

При увеличении амплитуды колебаний происходит захват частиц пучка волной, амплитуда достигает максимального значения, когда

$$\varphi_{max} \approx \frac{m}{e} \left(\frac{\gamma}{k} \right)^2 \approx \frac{m}{e} V_0^2 \left(\frac{n_1}{n_0} \right)^{2/3} \quad (9)$$

Захваченные электроны совершают фазовые колебания относительно волны, так что энергия электрического поля меняется с частотой

$$\Omega \approx k \sqrt{\frac{e\varphi_{max}}{m}} \approx \omega_0 \left(\frac{n_1}{n_0} \right)^{1/3} \quad (10)$$

Численный расчет /10/ дает значения γ_{max} и Ω , отличающиеся от (8), (10) численным коэффициентом. Результаты численного

расчета в работе /10/ представлена в виде кривой $\epsilon(\tau)$, где

$$\epsilon = E / \left[4\pi n_0 m V_0^2 \left(\frac{n_1}{n_0} \right)^{1/3} \right]^{1/2}, \quad \tau = \omega_0 t \left(\frac{n_1}{n_0} \right)^{1/3}$$

(здесь E – напряженность электрического поля). При сравнении наших результатов с теоретическими значениями энергии поля в максимуме и минимуме, период осцилляции определялись с помощью этой кривой.

В настоящей работе исследовалась теплая плазма с тепловой скоростью V_T . Можно ожидать, что результаты работы /10/ будут применимы для теплой плазмы, если скорость пучка велика

$$\frac{V_0}{V_T} \gg 1 \quad (11)$$

Отметим, что выполнение условия (1) и предположения о линейности колебаний можно проверить по выполнению равенства (3) (для характеристики выполнения равенства мы ввели параметр

$d = \frac{\Delta W_p - W_{\epsilon}^{\max}}{\Delta W_p + W_{\epsilon}^{\max}}$). В случае, когда это равенство нарушается, теория /10/, естественно, неприменима. Однако, мы и в этих случаях проводили сравнение с теорией для того, чтобы показать характер изменений.

Для численного моделирования взаимодействия пучка с плазмой нами был использован метод "частиц в ячейках" /14/. Рассматривается одномерная система длиной L с периодическими граничными условиями $f(0, v, t) = f(L, v, t)$, $\psi(0, t) = \psi(L, t)$, где $f(x, v, t)$ – функция распределения частиц по координатам и скоростям, $\psi(x, t)$ – потенциал электрического поля.

Длина ячейки равна дебаевскому радиусу Z_d . Ионы учитываются как постоянный однородный фон. Электроны пучка и плазмы представлены размытыми по прямоугольнику длиной Z_d моделирующи-

ми частицами с таким же отношением e/m как у реальных электронов.

Для решения уравнений движения частиц применяется центрированная по времени разностная схема /14/ (индексы указывают моменты времени относительно заданного)

$$V_{1/2} = V_{-1/2} + E_0 \tau$$

$$X_1 = X_0 + V_{1/2} \tau$$

где X нормировано на τ_d , τ на T_{oe} , V на τ_d/T_{oe}
 E на $-\frac{\tau_d}{e/m T_{oe}}$ (здесь τ - временный шаг, T_{oe} - период плазменных колебаний).

Электрическое поле определяется в центрах ячеек по распределению плотности заряда и линейно интерполируется на промежуточные значения X .

Для понижения уровня начальных шумов применяется метод "спокойного старта" /15/, заключающийся в том, что функция распределения $f_0(x, v)$ повторяется через расстояние, равное размеру частицы, так что $f_0(x, v)$ однаакова во всех ячейках. При этом перемещение частиц в пространстве не приводит к флюктуациям плотности в отличие от случая с тепловыми шумами. Уровень шумов при "спокойном старте" определяется ошибками счета и составляет $\sim 10^{-3}$ от уровня тепловых шумов.

В этом случае вид полной функции распределения определяется видом $f_0(x, v)$ в одной ячейке. Поскольку число частиц в ячейке мало ($\sim 10^2$), распределение по скоростям производится не с помощью датчика случайных чисел, как обычно, а задается алгоритмом

$$V = \pm v_i + V_d = \pm \left[\frac{\sqrt{k} V_T L}{\tau_d N} \exp\left(\frac{v_{i-1}^2}{V_T^2}\right) + v_{i-1} \right] + V_d$$

где $V_d = 0$ для плазмы, $V_d = V_0$ для пучка, скорость первой распределаемой частицы $v_0 = 0$, что позволяет получить максвелловскую функцию распределения.

Для более точного задания отдельных участков функции распределения (пучка малой плотности, "хвоста" плазмы, близкого к пучку) применяется метод "взвешивания", заключающийся в том, что чис-

ло частиц на этих участках увеличивается за счет уменьшения массы и заряда новых частиц. В этом случае функция распределения имеет вид:

$$f_0(v) \approx \frac{N_0 + \beta N'_0}{V_T \sqrt{\pi}} \exp\left(-\frac{v^2}{V_T^2}\right) + \frac{\beta N'_1}{V_b \sqrt{\pi}} \exp\left[-\frac{(v-v_0)^2}{V_b^2}\right]$$

где N_1, N_0 — число частиц пучка и плазмы,
 N'_1, N'_0 — то же для взвешенных частиц,
 V_b — тепловая скорость пучка,
 β — коэффициент взвешивания.

При этом $\frac{n_1}{n_0} = \frac{\beta N'_1}{N_0 + \beta N'_0}$

Для выделения монохроматической волны задается начальная бегущая волна посредством синусоидального возмущения плотности и скорости частиц плазмы с длиной волны λ и частотой ω , соответствующими λ и ω гармоники с максимальным инкрементом. Амплитуда выбирается равной или несколько превосходящей амплитуду начальных шумов.

Контроль правильности счета производится по сохранению энергии и импульса системы и по независимости результатов от счетных параметров. В рассматриваемых далее случаях точность сохранения полной энергии $\Delta W_0/W_0 \leq 3 \cdot 10^{-4}$ и импульса $\Delta P_0/P_0 \leq 10^{-4}$. Изменение временного шага в 4-5 раз приводит к изменениям W_E , ΔW_P , ΔW_b , в среднем, $\leq 10\%$.

Монохроматический пучок

Параметры численных экспериментов были выбраны таким образом, чтобы выяснить роль пучка и плазмы в развитии неустойчивости: эксперименты 1 и 2 — линейная стадия неустойчивости определяется захватом пучка, эксперимент 3 — становится существенной роль плазмы, но захвата плазмы нет, эксперимент 4 — существенную роль играет захват плазмы.

В таблице 1 приведены счетные параметры численных экспериментов, в таблице П — начальные физические параметры. Отметим, что амплитуда начальной волны φ_0 задавалась так, чтобы в началь-

ный момент времени не было захвата пучка: $2\sqrt{\frac{e\varphi_0}{m}} \leq V_0 - V_\Phi$

Это выполнено во всех экспериментах, кроме эксперимента 2, где $2\sqrt{\frac{e\varphi_0}{m}}/(V_0 - V_\Phi) \sim 1,8$, так что некоторая часть пучка захвачена. Однако амплитуда такова, что область захвата не мала по сравнению с резонансной областью γ/k , кроме эксперимента 1 (см. таблицу П). Таким образом, условие (б) выполнено недостаточно хорошо. Уменьшить отношение $\sqrt{\frac{e\varphi_0}{m}}/\gamma/k$ не удается, т.к. минимальная амплитуда ограничена уровнем шумов.

Для выполнения условия (1) необходимо брать малые n_1/n_0 , однако, уменьшение n_1/n_0 приводит к уменьшению γ и, следовательно, к ухудшению условия (5). Параметры эксперимента 1 выбраны так, чтобы получить минимальное отношение $\sqrt{\frac{e\varphi_0}{m}}/\gamma/k$, параметры эксперимента 2 – минимальную плотность. Выполнение условия (11) определяется величиной V_0/V_T . Увеличить величину скорости по сравнению с экспериментами 1,2 практически нельзя, т.к. при увеличении скорости приходится уменьшать временной шаг, что приводит к большим затратам машинного времени.

В таблице III приведены результаты численных экспериментов и проведено их сравнение с результатами теории /10/. В этой таблице ω^{teor} , γ^{teor} определялись по формулам (7), (6) соответственно, W_E^{teor} в максимуме и минимуме, период осцилляции T^{teor} определялся из кривой $\varepsilon(\tau)$ /10/;

Эксперимент 1 по своим физическим параметрам

$$\frac{V_0}{V_T} \approx 11; \left(\frac{n_1}{n_0}\right)^{1/3} \approx 0,1; \sqrt{\frac{e\varphi_0}{m}}/\gamma/k \approx 0,2$$

близок к теоретическому случаю /10/

$$\frac{V_0}{V_T} \gg 1; \left(\frac{n_1}{n_0}\right)^{1/3} \ll 1; \sqrt{\frac{e\varphi_0}{m}}/\gamma/k \ll 1$$

На рис.1 показана зависимость от времени энергии электрического поля, энергии колебаний плазмы $\Delta W_p = W_p - W_p^0$ и потери энергии пучка $\Delta W_b = -(W_b - W_b^0)$. Видно, что W_E и ΔW_p близки, в максимуме $\alpha \approx 0,06$. Из этого можно сделать вывод, что колебания плазмы близки к линейным, следовательно, возможно сравнение этого численного эксперимента с теорией /10/. Недостаточно хорошее совпадение кривых W_E и ΔW_p можно объяснить тем, что недостаточно хорошо вы-

Таблица 1. Счетные параметры

№ эксперим.	1	2	3	4
L/γ_d	100	100	200	95
N_0	9500	9500	18000	9025
N'_0	0	0	24000	15105
N'_1	2500	2500	3000	1740
β	0,0076	0,0011	0,013	0,0107
τ/T_{oe}	0,03	0,03	0,03	0,06

Таблица П. Начальные параметры

№ экспер.	1	2	3	4
n_1/n_0	$2 \cdot 10^{-3}$	$3 \cdot 10^{-4}$	$2 \cdot 10^{-3}$	$2 \cdot 10^{-3}$
V_0/V_T	11,25	11,25	3,15	2,53
ω/ω_0	0,95	0,97	1,05	1,12
λ/γ_d	100	100	25	19
V_ϕ/V_T	10,7	10,9	2,9	2,4
W_E^0/W_P^0	$3,4 \cdot 10^{-5}$	$3,8 \cdot 10^{-4}$	$2,9 \cdot 10^{-5}$	$3,3 \cdot 10^{-6}$
$\sqrt{e\varphi_0}/\chi_k$	0,2	0,9	0,5	0,4

W_E^0 - энергия начальной волны, W_P^0 - начальная энергия плазмы.

Таблица III. Результаты численных экспериментов

№ эксперимента	1	2	3	4
$\omega/\omega^{\text{теор}}$	1,00	1,00	1,11	1,18
γ/ω	0,095	0,047	0,084	0,06
$\gamma/\gamma^{\text{теор}}$	1,0	1,0	1,0	0,8
$\frac{W_E^{\max}}{\Delta W_b/2}$	0,9	1,0	0,7	0,3
$\sqrt{\frac{e\varphi_{\max}}{m}}/\frac{\gamma}{k}$	1,6	1,8	1,6	1,5
W_E^{\max}/W_E^{\min}	8	-	11	7
$W_E^{\max}/W_E^{\max \text{ теор}}$	0,8	1,0	0,6	0,2
$W_E^{\min}/W_E^{\min \text{ теор}}$	0,8	-	0,4	0,2
$d = \frac{\Delta W_p - W_E^{\max}}{\Delta W_p + W_E^{\max}}$	0,06	0,04	0,3	0,7
$T/T^{\text{теор}}$	1,0	1,1	1,0	1,0
$\Delta W_b^{\max}/W_b^0$	0,23	0,14	0,23	0,21
$\Delta W_b^{\max}/\Delta W_b^{\min}$	7,5	6,2	8,9	1,4
$\Delta W_b^{\max}/\Delta W_b^{\text{теор}}$	0,8	1,0	0,9	0,8

и вспомогательных явлений в гравитационной системе, а также о влиянии на эти явления различных факторов. Важнейшим из них является, конечно же, температура. Для определения температурных зависимостей исследований проводятся в различных температурных условиях.

Все эти исследования показывают, что температура имеет большое влияние на различные процессы в гравитационной системе. Однако, несмотря на это, температура не является единственным фактором, влияющим на эти процессы.

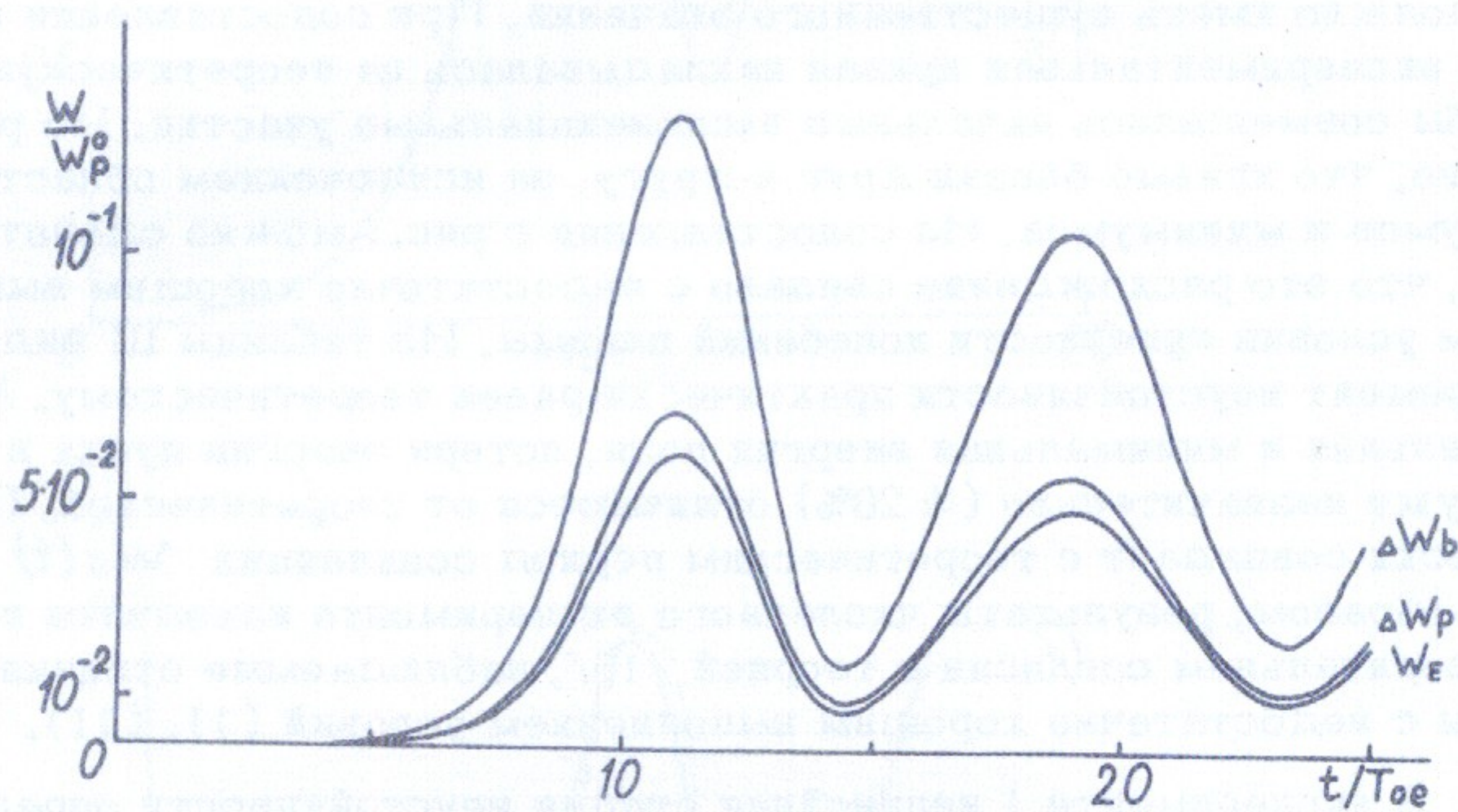


Рис.1

Зависимость W_E , ΔW_p , ΔW_b от времени.

Эксперимент 1.

Изучение зависимости явлений от времени и температуры. Важнейшими факторами, влияющими на эти явления, являются температура и время. Для определения температурных зависимостей исследований проводятся в различных температурных условиях. Важнейшим из них является, конечно же, температура. Для определения температурных зависимостей исследований проводятся в различных температурных условиях.

полны условия малой плотности пучка (1) и большой скорости (11). Действительно, уменьшение n_1/n_0 (эксперимент 2) приводит к сближению кривых W_E и ΔW_p и уменьшению a . Роль скорости будет видна из дальнейшего.

На рис.2 приведены кривые $\epsilon(t)$ для нашего случая и теоретического (пунктир).

Отметим, что начальное значение ϵ в нашем случае $\epsilon_0 \approx 3 \cdot 10^{-2}$ несколько отличается от $\epsilon_0^{\text{теор}} = 10^{-2}$. При малых значениях ϵ это не должно иметь существенного значения. При сопоставлении кривых экспериментальная кривая накладывалась на теоретическую так, чтобы совмешались начальные экспоненциальные участки. Из рис.2 видно, что кривые близки друг к другу, за исключением области максимумов и минимумов. Из сопоставления с рис.1 можно сделать вывод, что это расхождение связано с недостаточно хорошим выполнением условия линейности колебаний плазмы. Из таблицы III видно, что инкремент неустойчивости практически равен теоретическому. Максимальная и минимальная энергия поля, потеря энергии пучка в максимуме незначительно ($\leq 20\%$) отличаются от теоретической. Практически совпадает с теоретическим период осцилляции $W_E(t)$. Таким образом, результаты численного эксперимента находятся в удовлетворительном согласии с теорией /10/, наблюдаемые отличия связаны с недостаточно хорошим выполнением условий (1), (11).

В эксперименте 1 инициальная стадия неустойчивости определяется захватом пучка. На рис.3,4 показаны фазовые плоскости $f(x,v)$ и функции распределения $f(v)$ в моменты времени, соответствующие максимуму и минимуму энергии поля W_E . Стрелками на этих и последующих рисунках показаны границы области захвата

$[V_\phi - 2\sqrt{\frac{e\psi}{m}}, V_\phi + 2\sqrt{\frac{e\psi}{m}}]$, а сплошными линиями — сепаратрисы

$V = V_\phi \pm 2\sqrt{\frac{e\psi}{m}} \sin \frac{\pi}{\lambda} (x - x_0)$ — для соответствующих амплитуд электрического поля монохроматической волны. При построении сепаратрисы точка x_0 (узел сепаратрисы) совмещалась с координатой максимума потенциала $\psi(x)$.

Из рис.3 видно, что в максимуме амплитуды колебаний практически все частицы пучка находятся внутри области, ограниченной сепаратрисой, а в минимуме амплитуды (рис.4) часть частиц пучка рас-

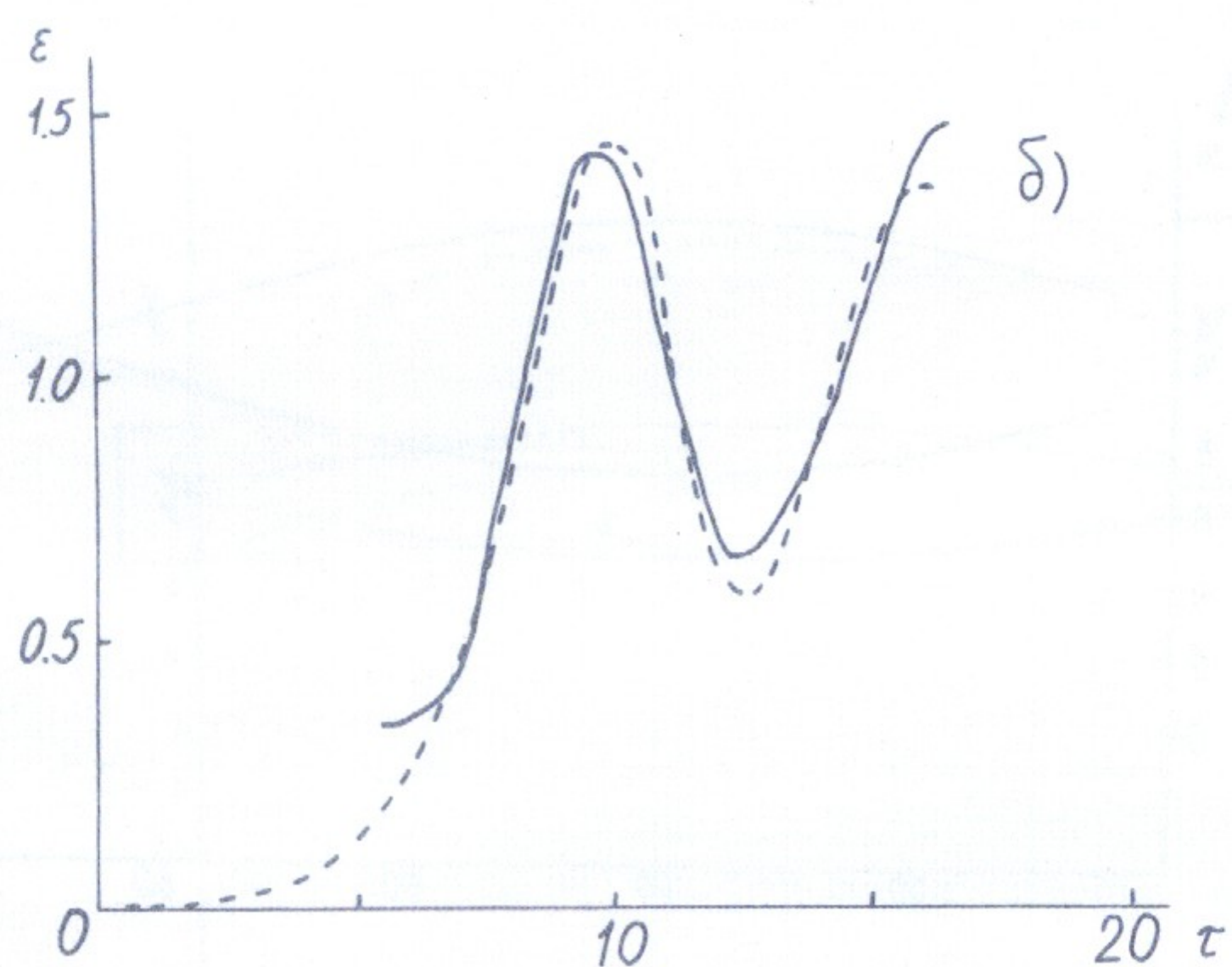
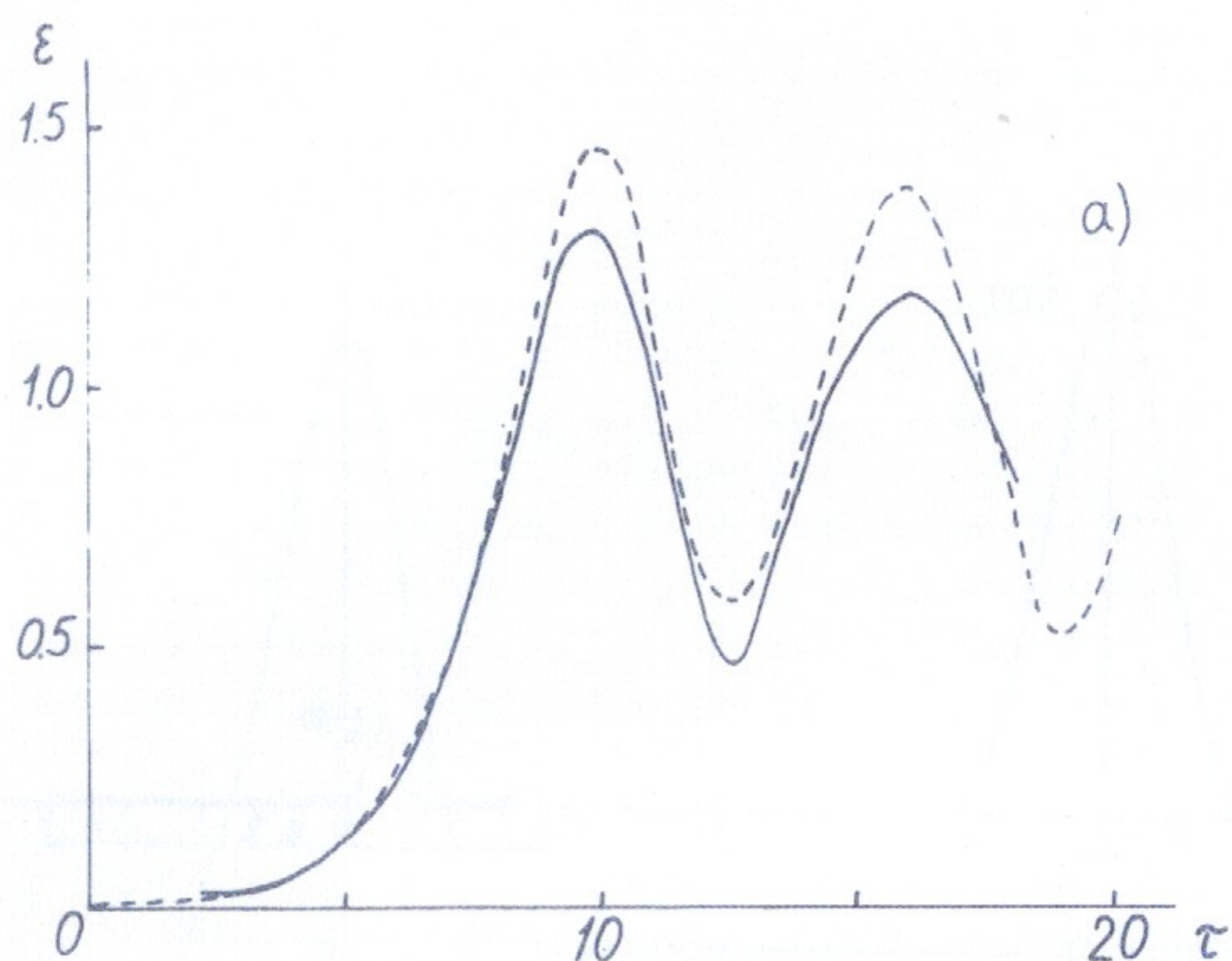


Рис.2.
Сравнение экспериментальной кривой $\epsilon(\tau)$ с теоретической/10/.
— эксперимент, - - - - теория. а) – эксперимент 1,
б) – эксперимент 2.

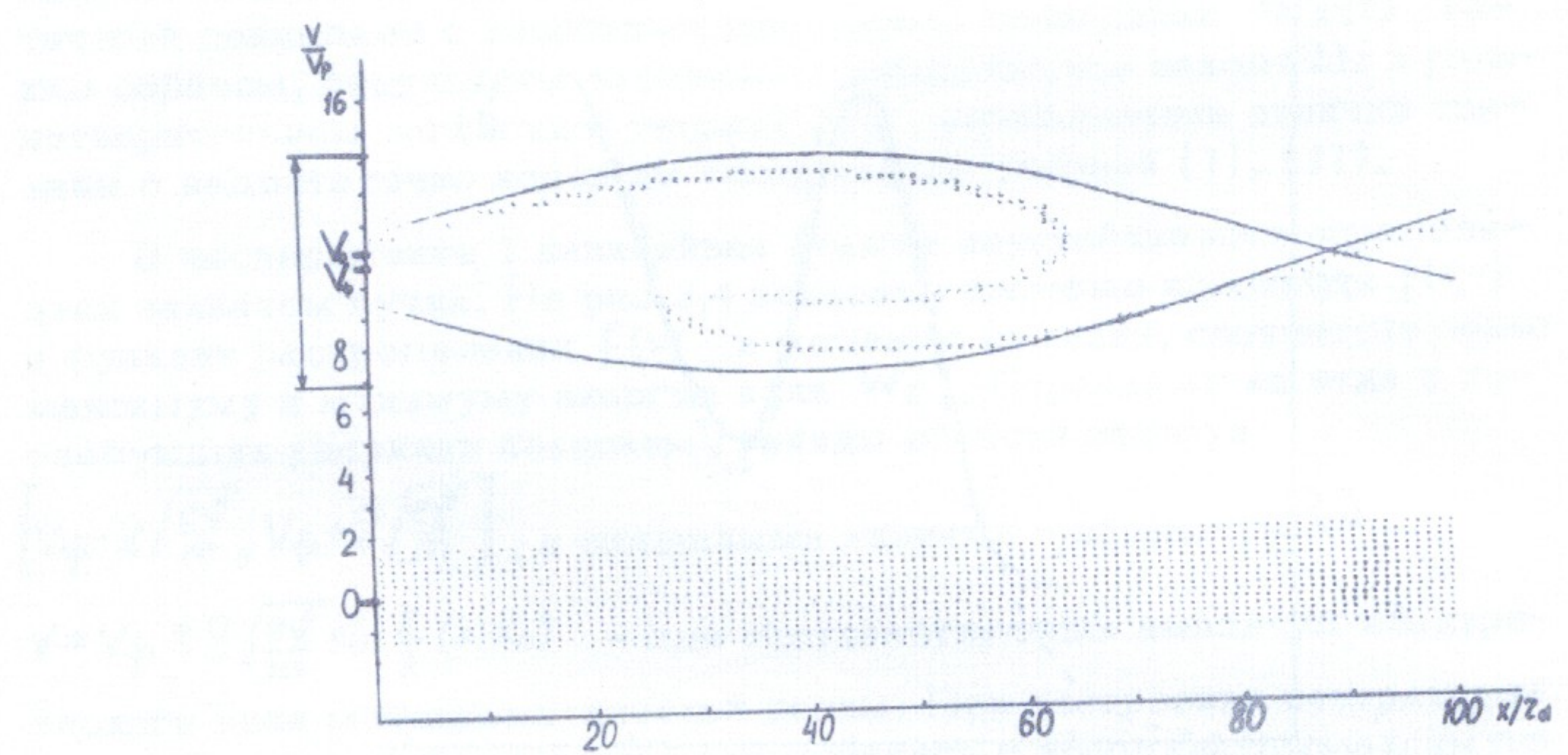
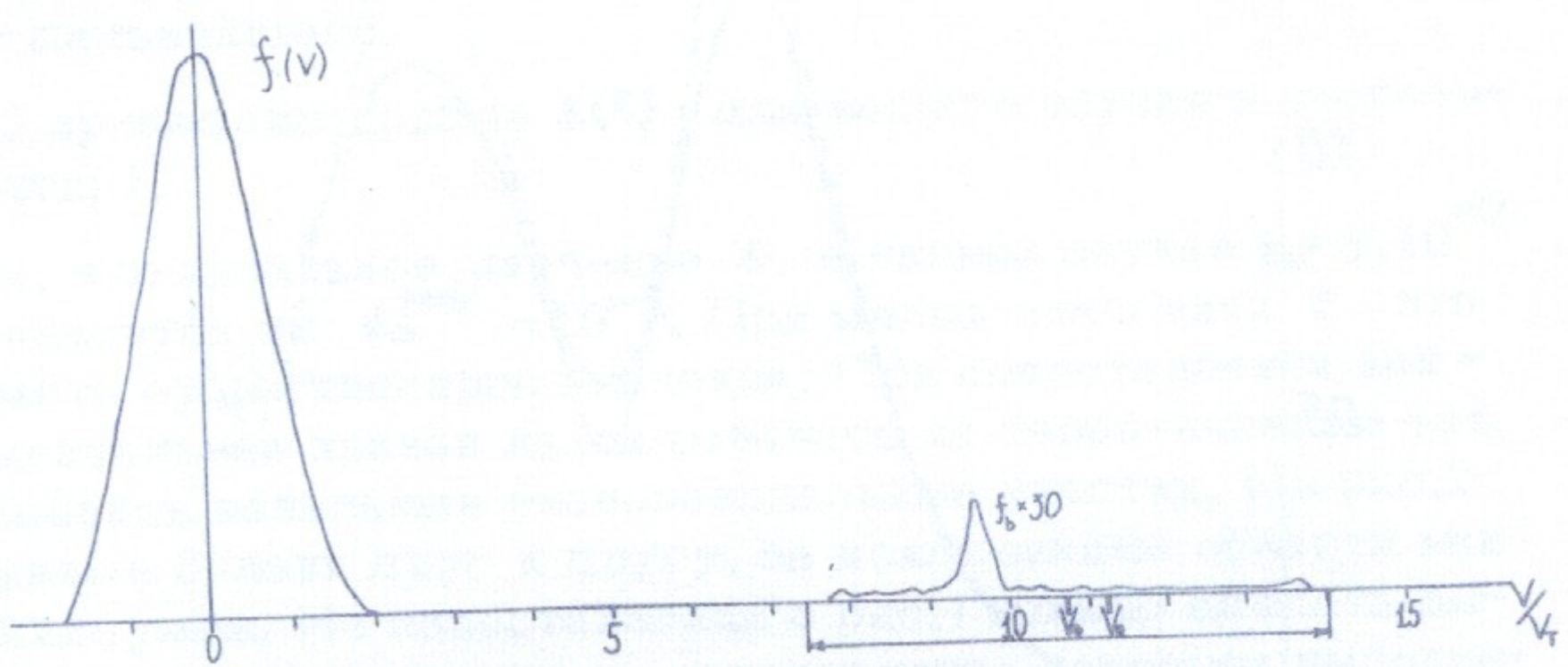


Рис.3

Фазовая плоскость и функция распределения в
максимуме энергии поля; эксперимент 1; $t = 11,1 T_{oe}$.

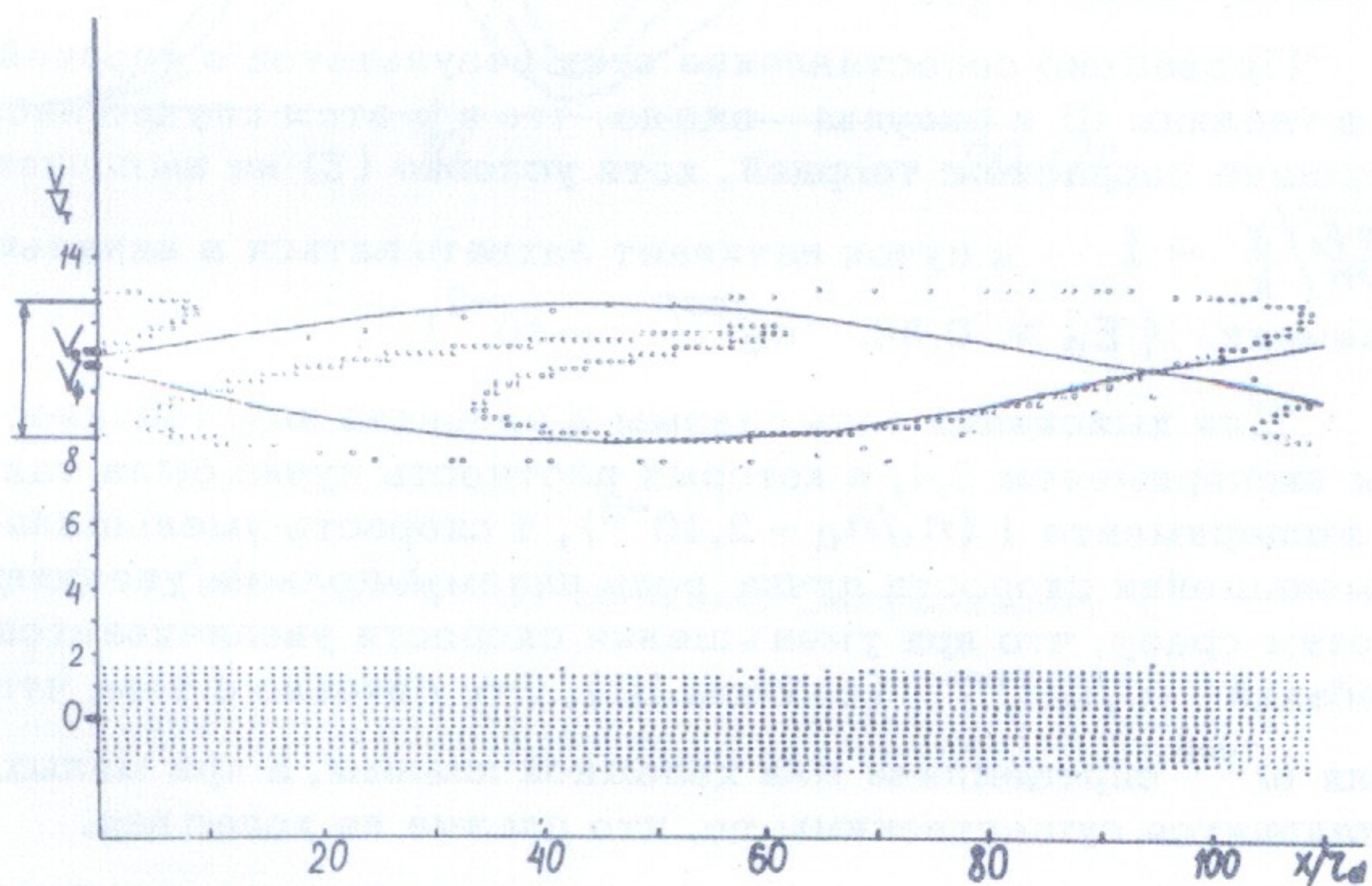
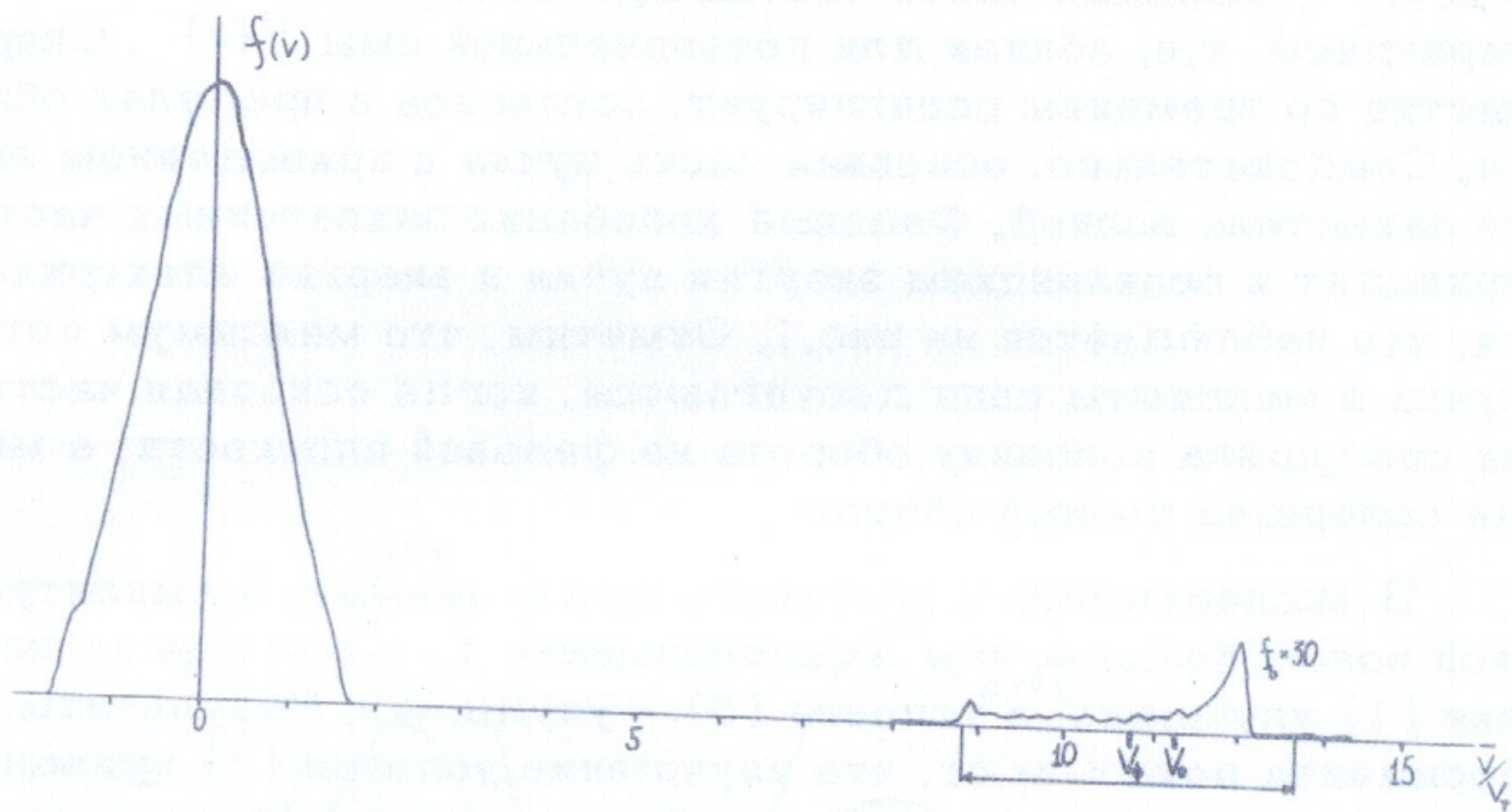


Рис. 4

Фазовая плоскость и функция распределения в минимуме
энергии поля; эксперимент 1; $t = 14,5 T_{oe}$.

положена за её пределами. Из вида функции распределения $f(v)$ следует, что при колебаниях в поле волны пучок незначительно размывается по скоростям: при этом, как следует из сравнения $f(x,v)$ и $f(v)$, основная часть частиц пучка находится вблизи центров сепаратрисы, т.е. вблизи для потенциальной ямы $\varphi(x)$. Скорость этих частиц со временем осциллирует, оставаясь в пределах области захвата. Следовательно, основная часть пучка в приведенном эксперименте захвачена волной. Фазовые колебания захваченных частиц пучка приводят к осцилляциям энергии пучка и энергии электрического поля, что наблюдается на рис. 1. Отметим, что максимум потерь энергии пучка и максимум поля достигаются, когда основная часть частиц пучка совершила половину оборота на фазовой плоскости, а минимум — когда совершила полный оборот.

В эксперименте 2 плотность пучка меньше, а амплитуда начальной волны больше, чем в эксперименте 1, так что выполнение условия (1) улучшено, а условия (5) — ухудшено. Результаты этого эксперимента показывают, что улучшение условия (1) приводит к улучшению выполнения условий линейности колебаний плазмы. Действительно, в этом случае кривые W_E и ΔW_p совпадают за исключением области максимума W_E , где их различие также невелико: $\alpha \approx 0.04$.

Проведено сопоставление этих результатов с теорией /10/ (рис. 2). Из таблицы Ш и рисунка видно, что и в этом случае наблюдается хорошее согласие с теорией, хотя условие (5) не выполнено:

$\sqrt{\frac{e\varphi_0}{m}}/\frac{\gamma}{k} \sim 1$ и пучок начинает захватываться в начальный момент времени ($\epsilon_0 \approx 0.36$, $\epsilon_0^{\text{теор}} = 10^{-2}$).

Для выяснения роли плазмы в развитии неустойчивости проведены эксперименты 3, 4, в которых плотность пучка была такой же, как в эксперименте 1 ($n_1/n_0 = 2 \cdot 10^{-3}$), а скорость уменьшалась. При уменьшении скорости пучка роль плазмы должна увеличиваться. Отметим сразу, что при уменьшении скорости увеличивается частота колебаний $\omega/\omega^{\text{теор}}$ (таблица Ш). Это связано с тем, что формула (7) для $\omega^{\text{теор}}$ справедлива для холодной плазмы, а при малых V_0/V_T становится существенным то, что плазма не холодная.

В эксперименте 3 параметры подобраны так, чтобы не было захвата плазмы. В этом случае на начальной стадии неустойчивость по прежнему развивается с линейным инкрементом. При дальнейшем раз-

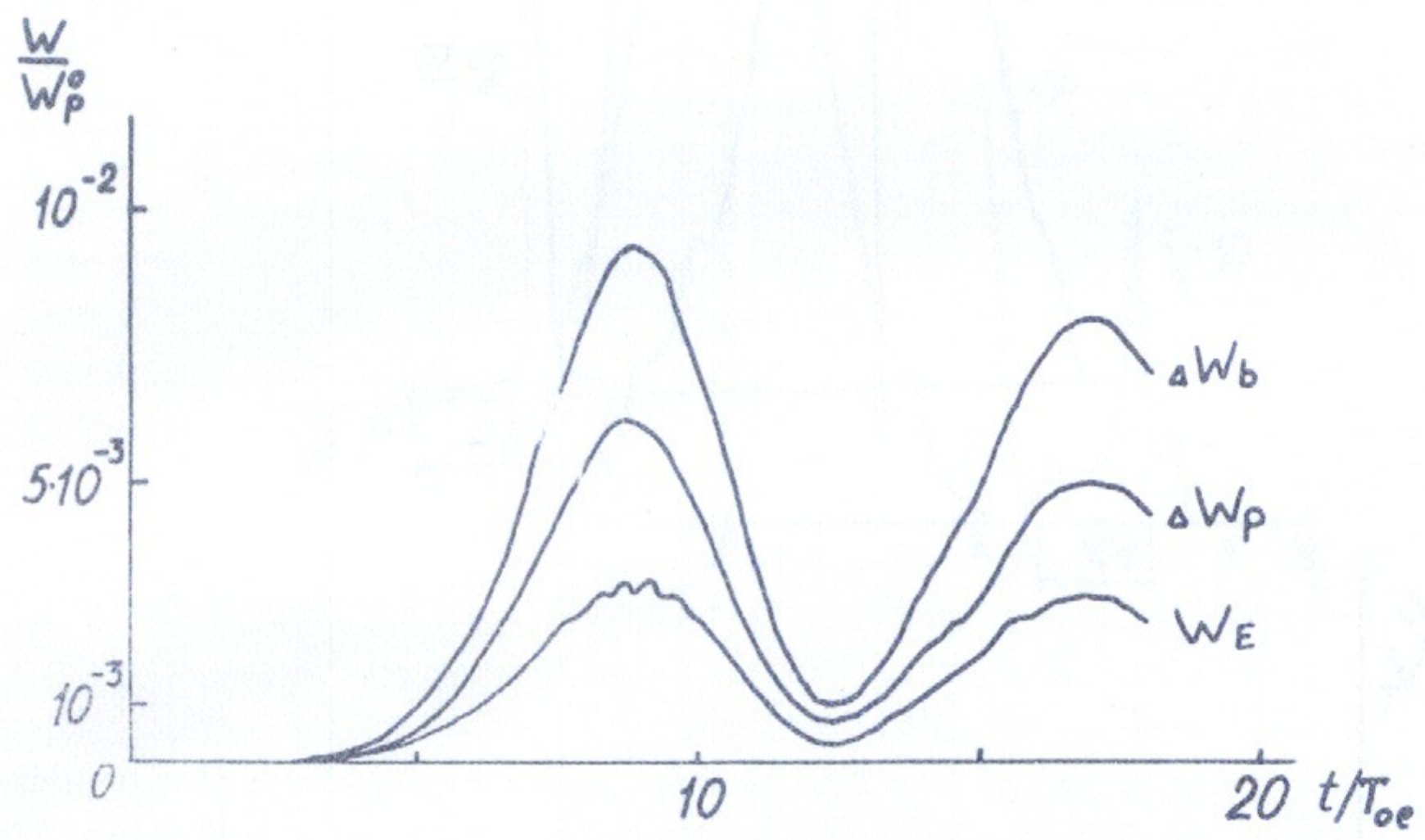


Рис. 5

Зависимость W_E , ΔW_p , ΔW_b от времени. Эксперимент 3.

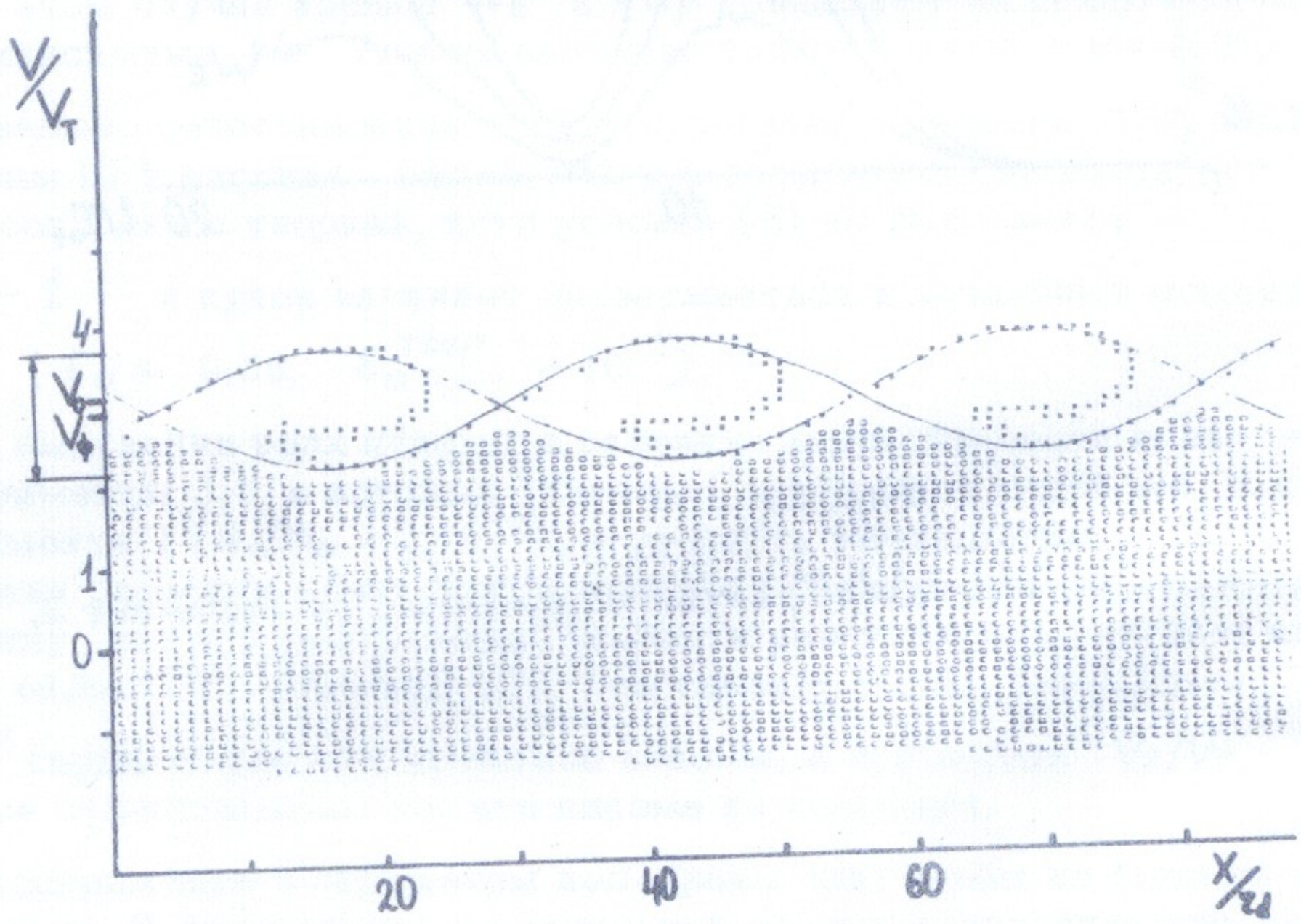
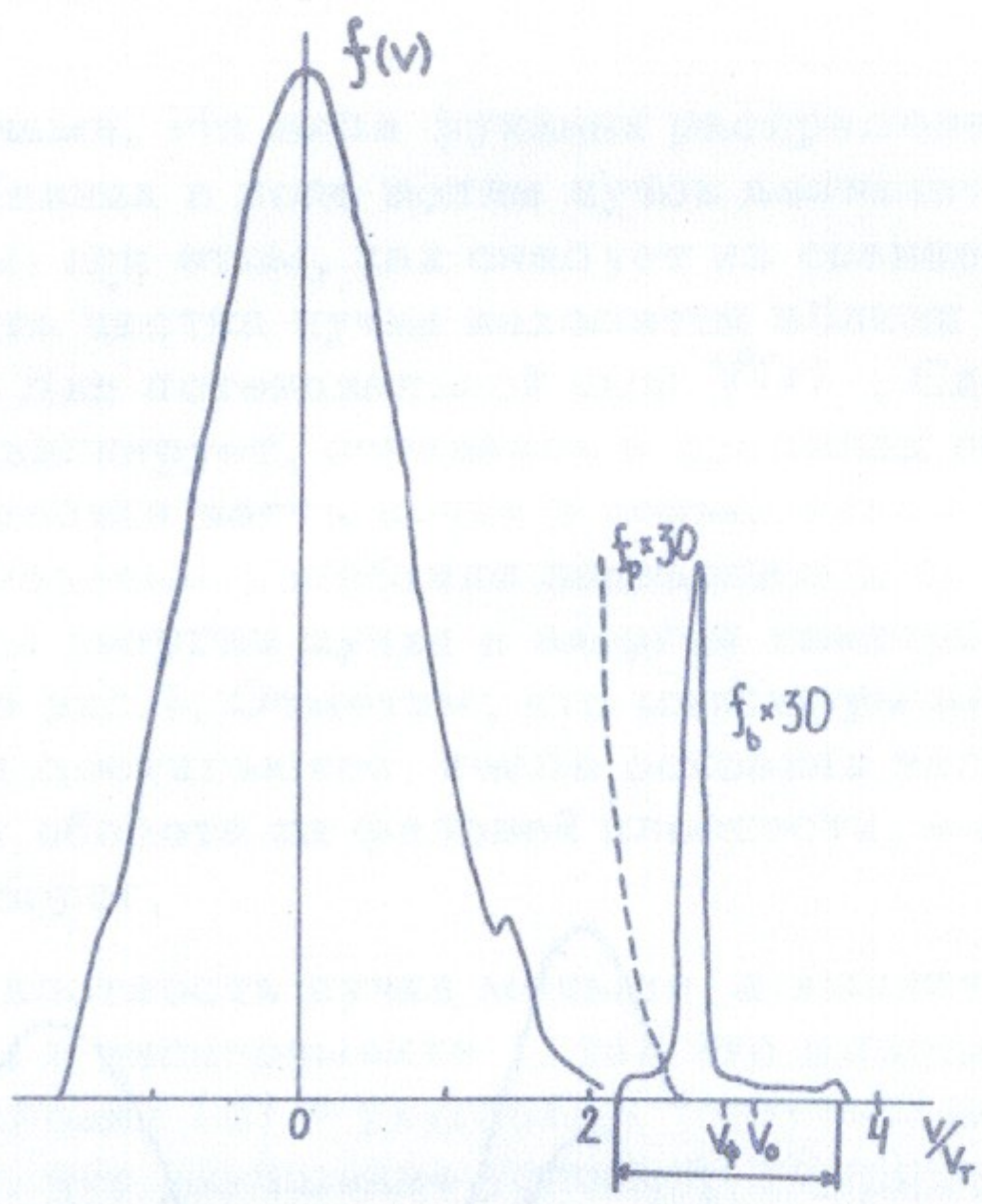


Рис.8. Фазовая плоскость и функция распределения в максимуме энергии поля; эксперимент 3; $t = 8,9 \text{ Toe}$.

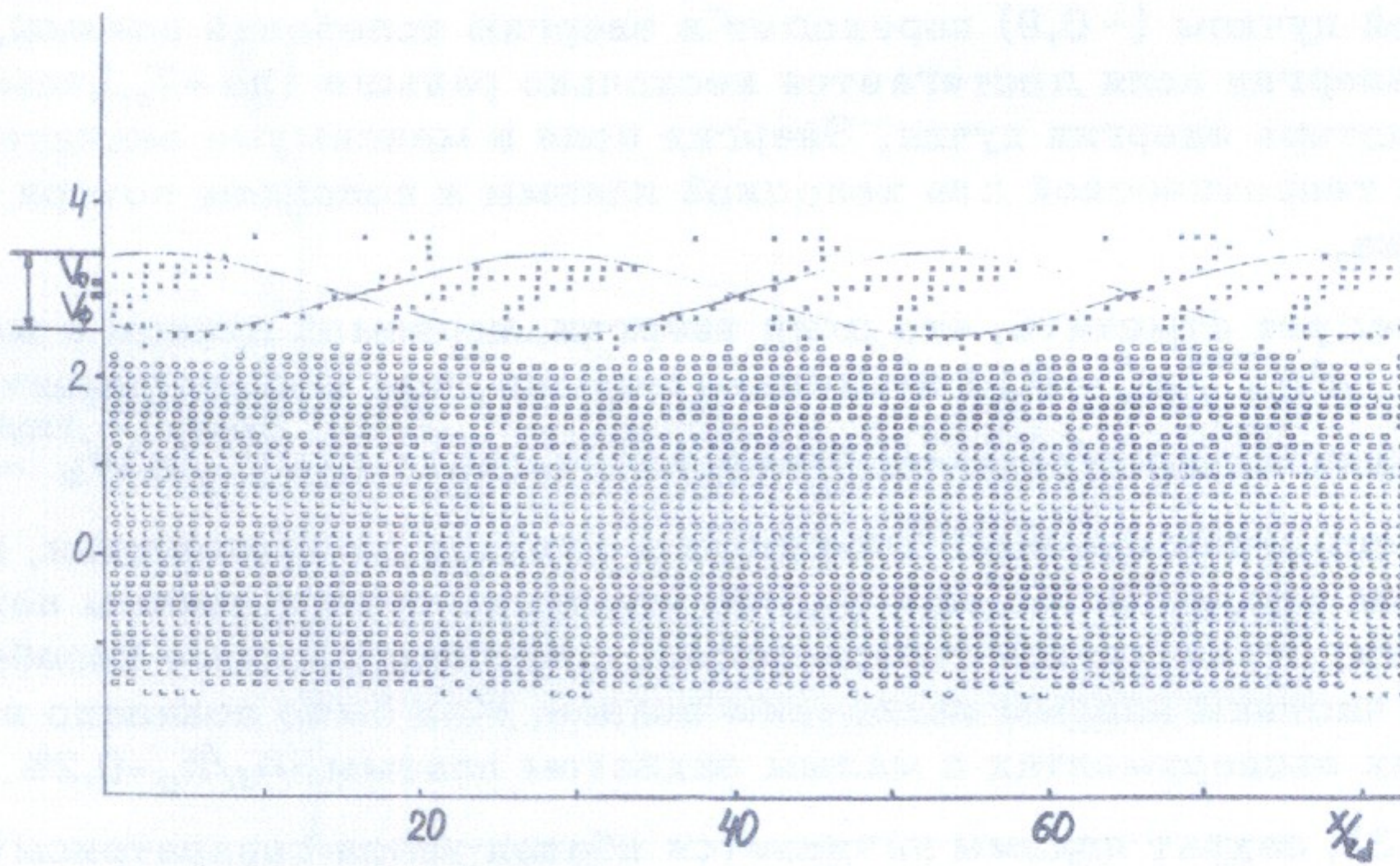
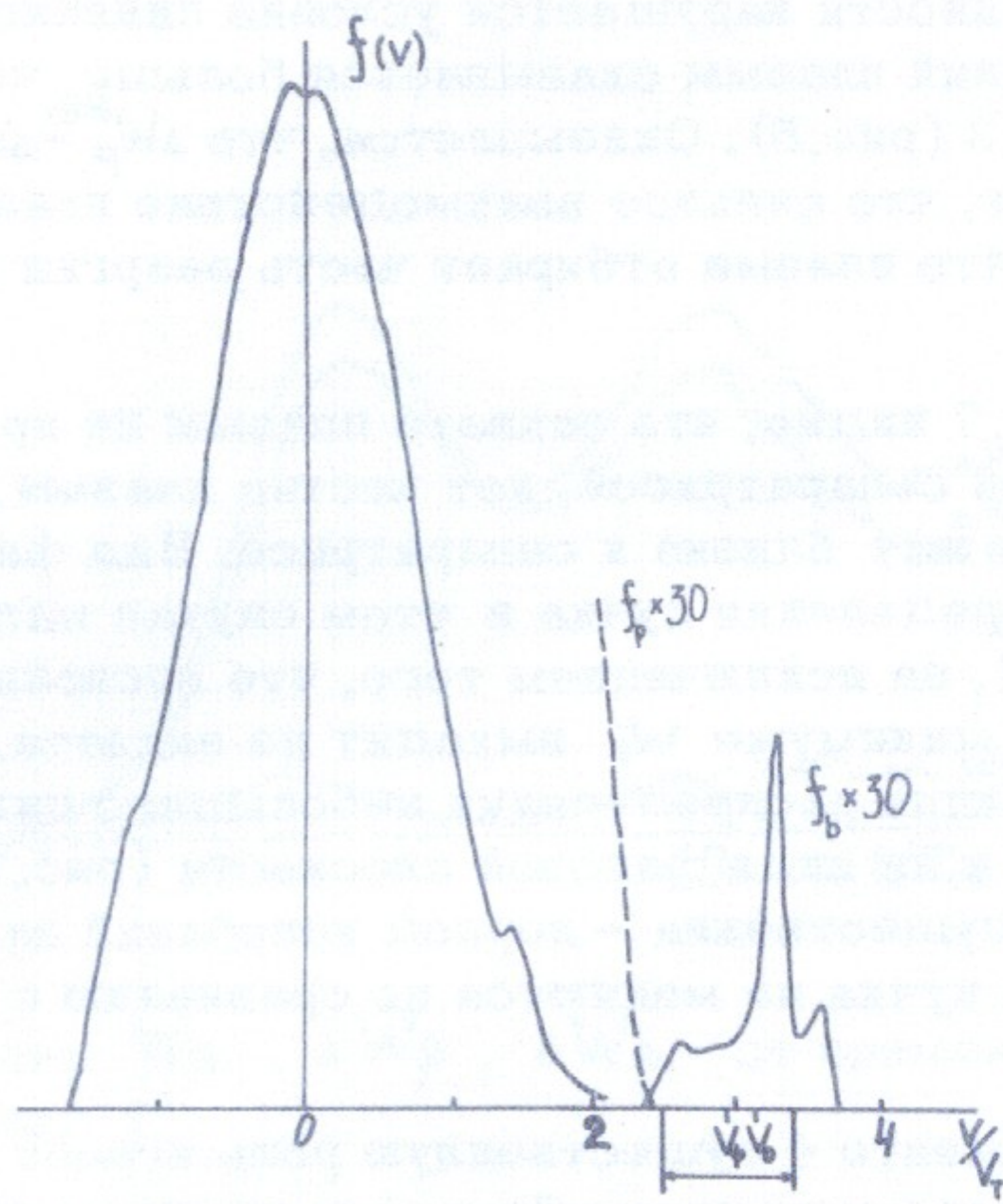


Рис.7. Фазовая плоскость и функция распределения в минимуме энергии поля; эксперимент 3; $t = 12,8 T_{oe}$.

вании неустойчивости нарушается условие линейности колебаний: энергия колебаний плазмы оказывается больше, чем энергия поля, так что $\alpha \sim 0,3$ (рис.5). Оказывается, что $\Delta W_p^{\max} - \Delta W_p^{\text{теор}} \approx (W_E^{\max} - W_E^{\text{теор}})$. Это показывает, что сильное взаимодействие плазмы с волной приводит к тому, что плазма отбирает часть энергии у электрического поля.

Из рис. 6, 7 видно, что захвата плазмы не происходит - в области ограниченной сепаратрисой, нет частиц плазмы, хотя в максимуме W_E они и лежат близко к сепаратрисе. Вид фазовых плоскостей и функций распределения пучка в этом случае мало отличается от эксперимента 1, за исключением того, что несколько большая часть частиц пучка в минимуме W_E выходит из захвата. Это видно из появления на функции распределения небольшого пика в области больших скоростей и из вида фазовой плоскости (рис.7). Однако роль этого эффекта несущественна - период колебаний захваченных частиц, потери энергии пучка не меняются по сравнению с теоретическими (таблица III).

В эксперименте 4 существенную роль играет захват плазмы. В этом случае инкремент неустойчивости уменьшается, кривые W_E и ΔW_p сильно различаются. Из рис.8 видно, что большая часть энергии, теряемой пучком ($\sim 0,9$) переходит в энергию колебаний плазмы. Максимум энергии поля достигается несколько раньше (на $\sim T_{oe}$), чем максимум потерь энергии пучка. Энергия поля в максимуме значительно меньше теоретической для холодной плазмы и половины потери энергии пучка.

Следует отметить, что доля энергии, теряемой пучком в максимуме $\Delta W_p^{\max} / W_p^o = 0,21$ несколько меньше, чем в экспериментах 1, 3 и незначительно отличается от теоретической ($\Delta W_p^{\max} / \Delta W_p^{\text{теор}} \sim 0,8$).

Рассмотрим фазовые плоскости и функции распределения, показанные на рис.9, 10. Из рис. видно, что часть частиц плазмы лежит в области, ограниченной сепаратрисой, совершая фазовые колебания, так что частицы плазмы захвачены волной. Как было показано в специальных экспериментах с малым захватом плазмы ($n_1/n_o = 0,2\%$, $V_o/V_T = 3$), захват плазмы начинается вблизи узлов сепаратрисы (рис.9а).

В максимуме электрического поля (рис.9) вид $f(x, v)$ и $f(v)$ для пучка не отличается существенно от экспериментов 1, 3 (рис.3, 6)

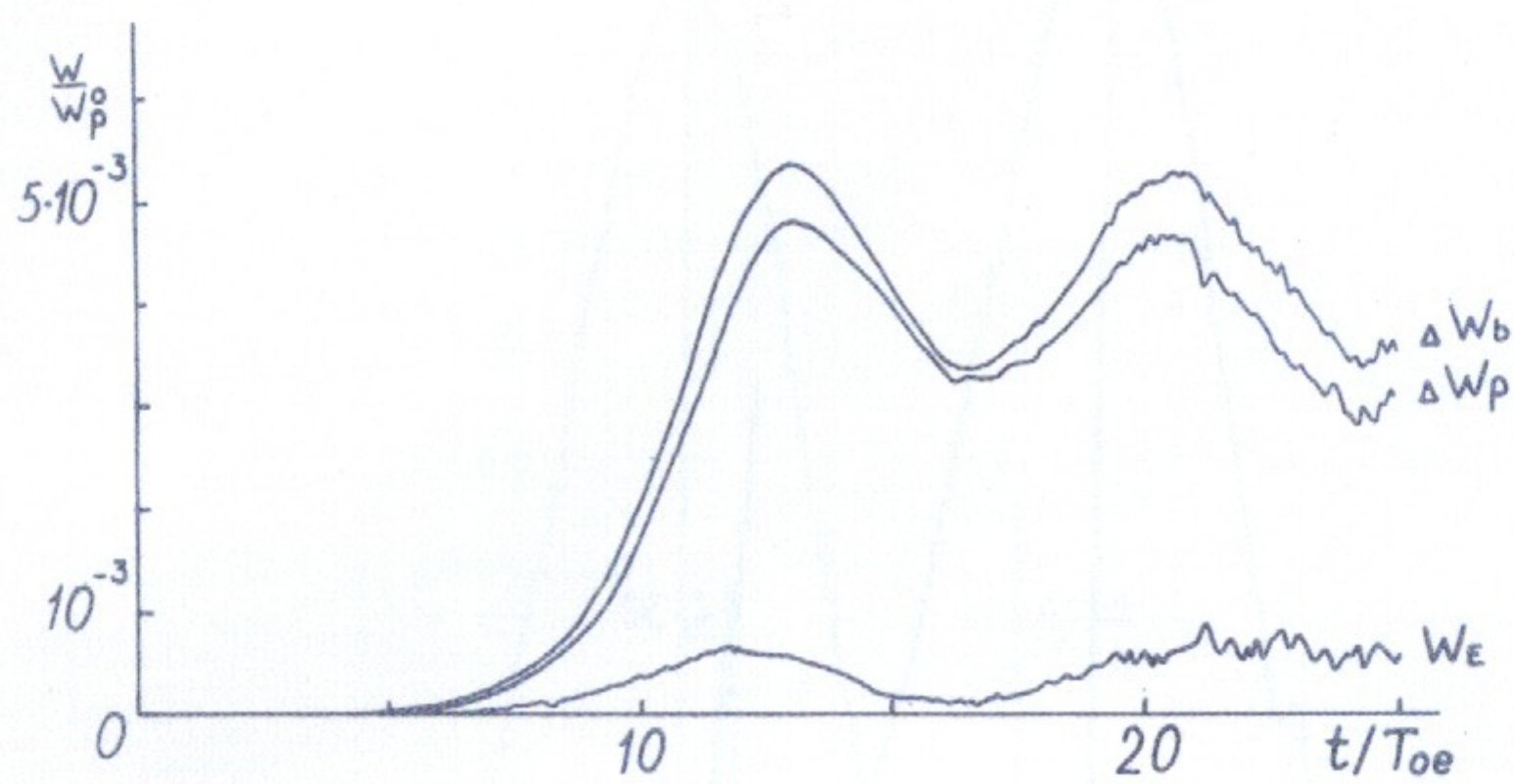


Рис.8. Зависимость W_E , ΔW_p , ΔW_b от времени; эксперимент 4.

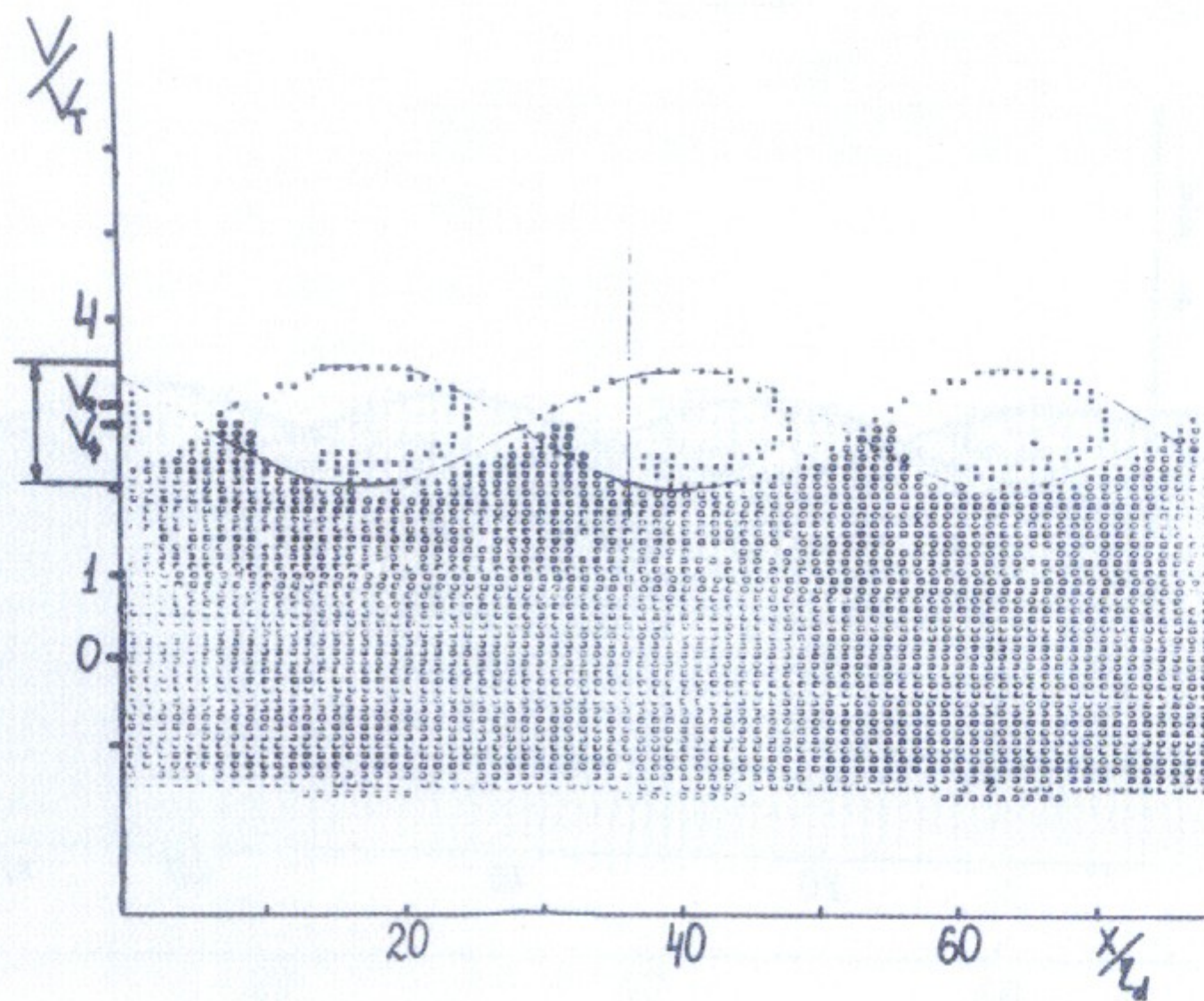


Рис.8а. Фазовая плоскость в максимуме энергии поля; эксперимент с малым захватом плаэмы ($n_1/n_0 = 2 \cdot 10^{-3}$, $V_0/V_T = 3$).

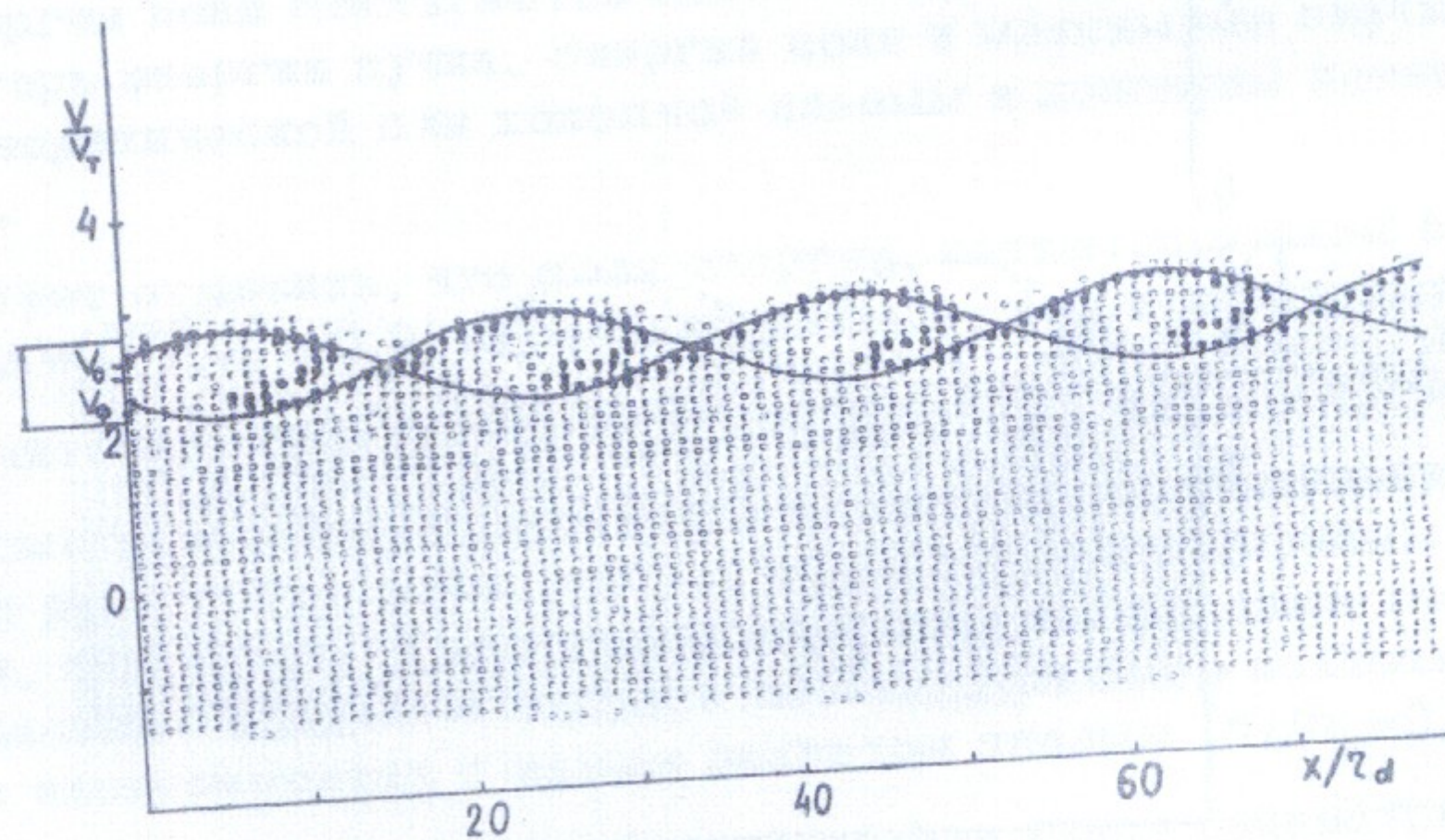
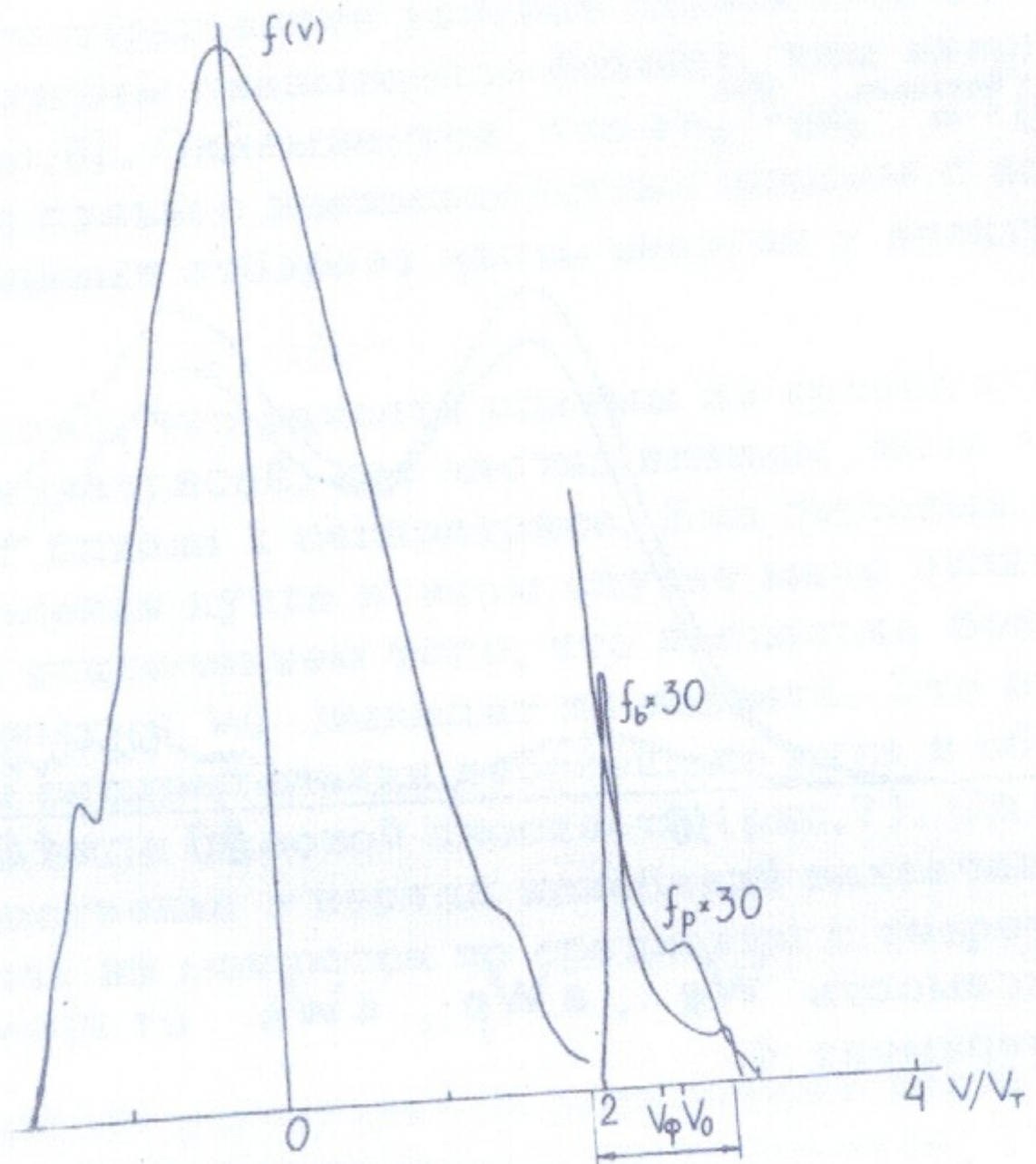


Рис.9. Фазовая плоскость и функция распределения в максимуме энергии поля; эксперимент 4; $t = 11,5 \text{ Toe}$.

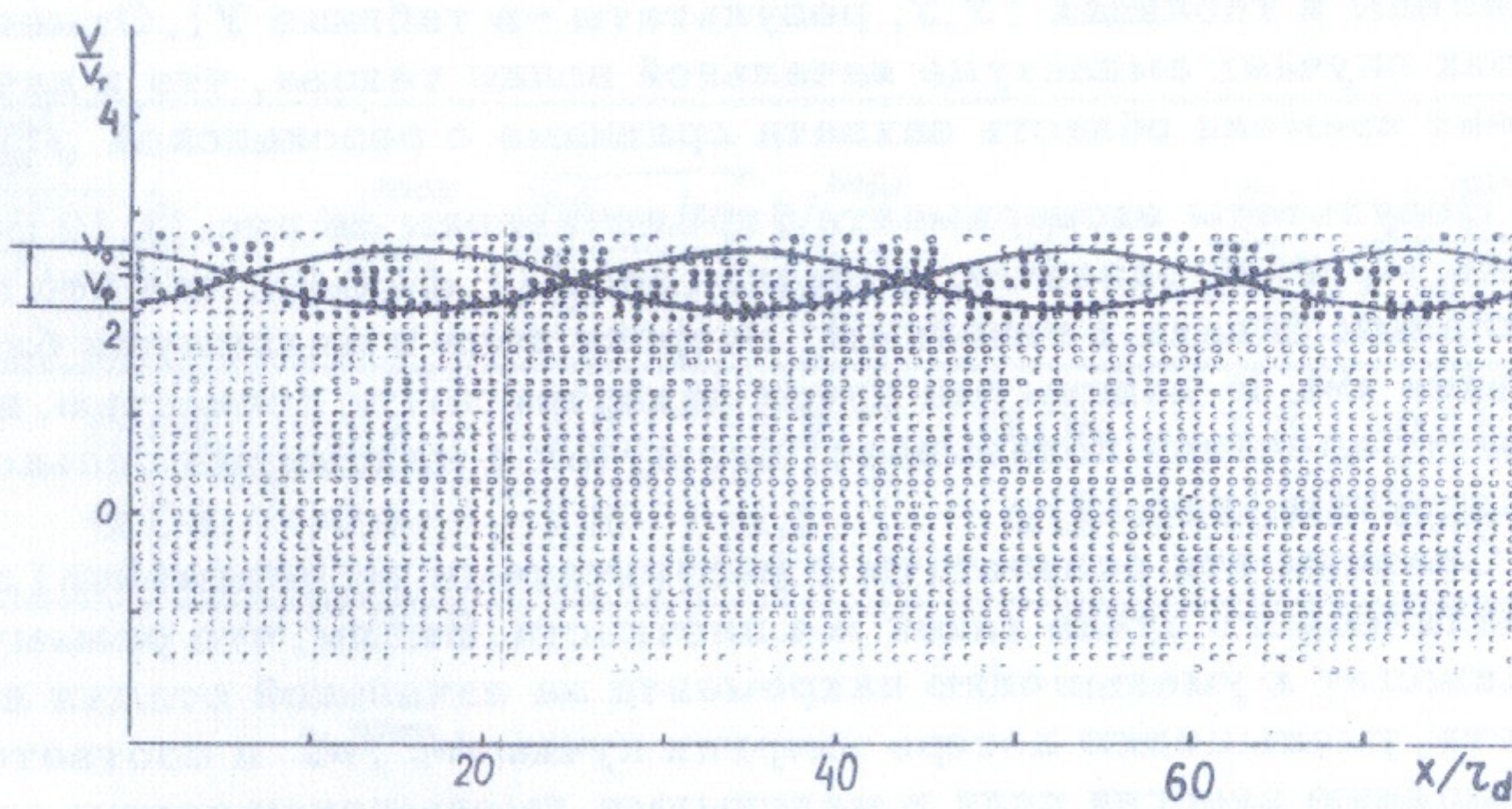
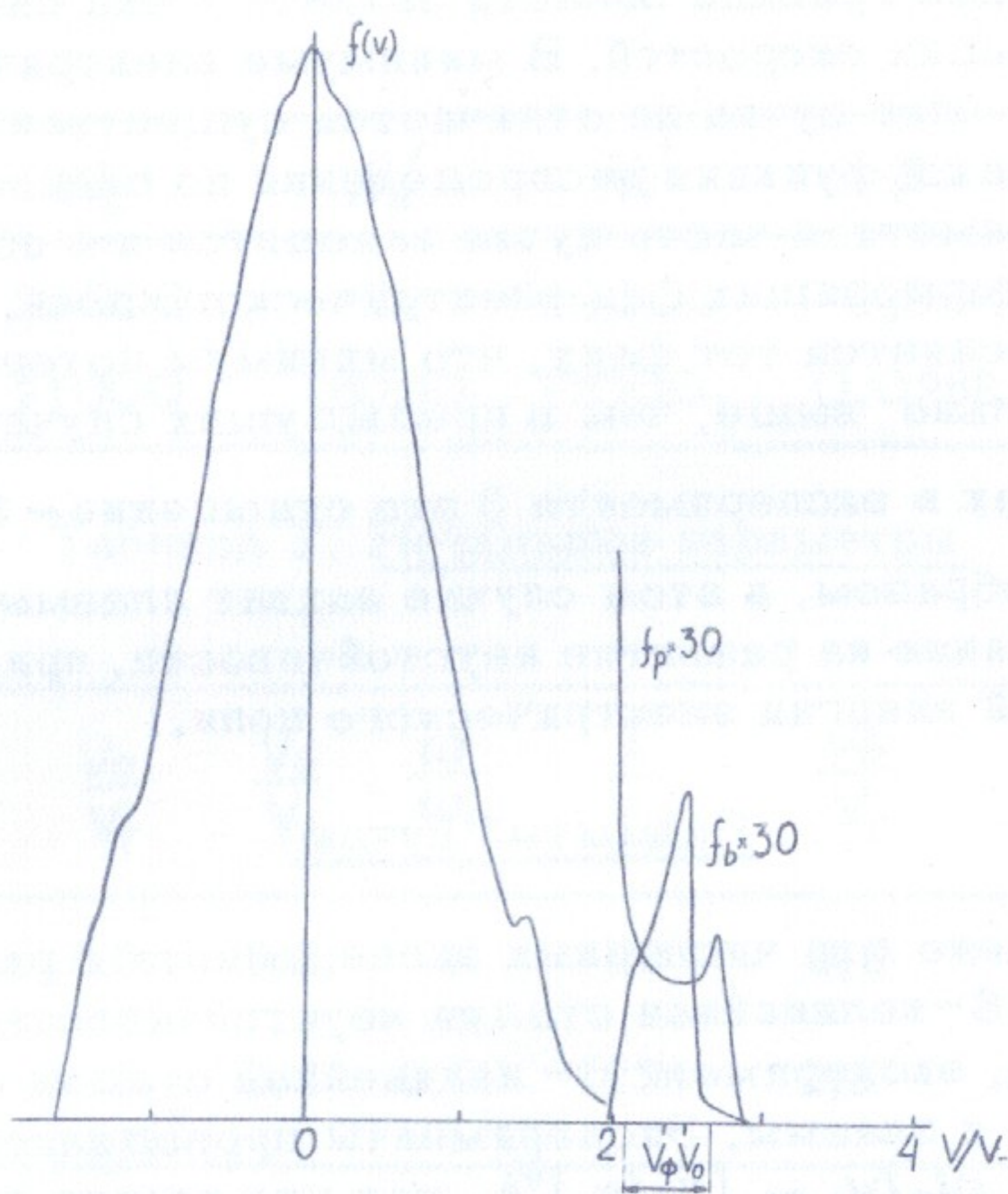


Рис.10. Фазовая плоскость и функция распределения в минимуме энергии поля; эксперимент 4; $t = 16 T_{oe}$.

за исключением того, что максимум функции распределения лежит ближе к нижней границе области захвата и она сильнее размыта в сторону больших скоростей. В минимуме электрического поля (рис.10) вид $f(x, v)$ для пучка не отличается существенно от предыдущих случаев, однако, функция распределения по скоростям сильно размыта, так что заметная часть пучка находится и в области ускоряющих и в области тормозящих фаз электрического поля. По-видимому, именно этим объясняется тот факт, что минимум потерь энергии пучка лежит значительно выше, чем в предыдущих случаях ($\Delta W_b^{\max} / \Delta W_b^{\min} \sim 1.4$, в то время как в эксперименте 3 это отношение ~ 8.9).

Таким образом, в этом случае захват плазмы оказывает существенное влияние на развитие неустойчивости, приводя к снижению максимальной энергии электрического поля.

Размытый пучок

Проведено два численных эксперимента с размытым пучком: эксперимент 5 - нелинейная стадия неустойчивости определяется захватом пучка, эксперимент 6 - нелинейная стадия определяется захватом пучка и плазмы. Эксперименты проводились со слаборазмытым пучком $\Delta V_0 / V_0 \sim (n_1 / n_0)^{1/3}$, так что теория для размытого пучка $\Delta V / V_0 \gg (n_1 / n_0)^{1/3}$ неприменима.

Счетные параметры и начальные параметры этих экспериментов приведены в таблицах IY, Y, результаты - в таблице Y1. Отметим, что в обоих случаях амплитуда начальной волны такова, что в начальный момент времени область захвата сравнима с резонансной $\sqrt{\frac{e\phi_0}{m}} \sim \frac{\lambda}{K}$.

Результаты эксперимента 5 представлены на рис.11,12. Видно, что кривые W_e и ΔW_p различаются мало (рис.11), $d \approx 0.08$, так что колебания плазмы близки к линейным. Энергия поля в максимуме близка к половине ΔW_b . В максимуме пучок захвачен почти полностью, вид функции распределения показывает, что пучок в максимуме сильно размыт по скоростям (рис.12).

Сравним эти результаты с результатами эксперимента 1 для монохроматического пучка такой же плотности. Видим, что размытие пучка приводит к уменьшению инкремента на начальной стадии неустойчивости, уменьшению потерь энергии пучка $\Delta W_b^{\max} / W_b^0$ и соответственно уменьшению энергии поля в максимуме, уменьшению перепада максимума и минимума потери энергии пучка и поля. Эти различия нетрудно понять, учитывая, что частицы с различными начальными скоростями захватываются в разные фазы волны, вследствие чего имеют разные периоды фазовых колебаний. В результате пучок отдает меньшую энергию, W_e^{\max} уменьшается, а W_e^{\min} увеличивается по сравнению со случаем монохроматического пучка.

Таблица 1У. Счетные параметры

№ экспер.	N_0	N_0'	N_1'	β	L/z_d	τ/T_{oe}
5	20000	0	10000	0,004	200	0,05
6	21000	16000	17000	0,0268	200	0,05

Таблица У. Начальные параметры

№ эксп- та.	$\frac{n_1}{n_0}$	$\frac{V_0}{V_T}$	$\frac{V_b}{V_T}$	$\frac{\omega}{\omega_0}$	$\frac{\lambda}{z_d}$	$\frac{V_\phi}{V_T}$	$\frac{W_E^0}{W_P^0}$	$\frac{\sqrt{e\varphi_0/m}}{\gamma/k}$
5	$2 \cdot 10^{-3}$	6,0	0,6	1	50	5,6	$3,8 \cdot 10^{-4}$	0,9
6	$2 \cdot 10^{-2}$	3,15	0,6	0,99	25	2,8	$3,3 \cdot 10^{-4}$	1,1

Таблица У1. Результаты численных экспериментов

№ эксп- та.	$\frac{\gamma}{\omega}$	$\frac{W_E^{max}}{\Delta W_b/2}$	$\frac{\sqrt{e\varphi_{max}/m}}{\gamma/k}$	$\frac{W_E^{max}}{W_E^{min}}$	d	$T_{расч}$	$\frac{\Delta W_b}{W_b^0}$	$\frac{\Delta W_b^{max}}{\Delta W_b^{min}}$
5	0,06	0,9	2,2	1,8	0,08	1,3	0,15	2,2
6	0,08	0,5	2,8	1,8	0,5	1,4	0,14	1,5

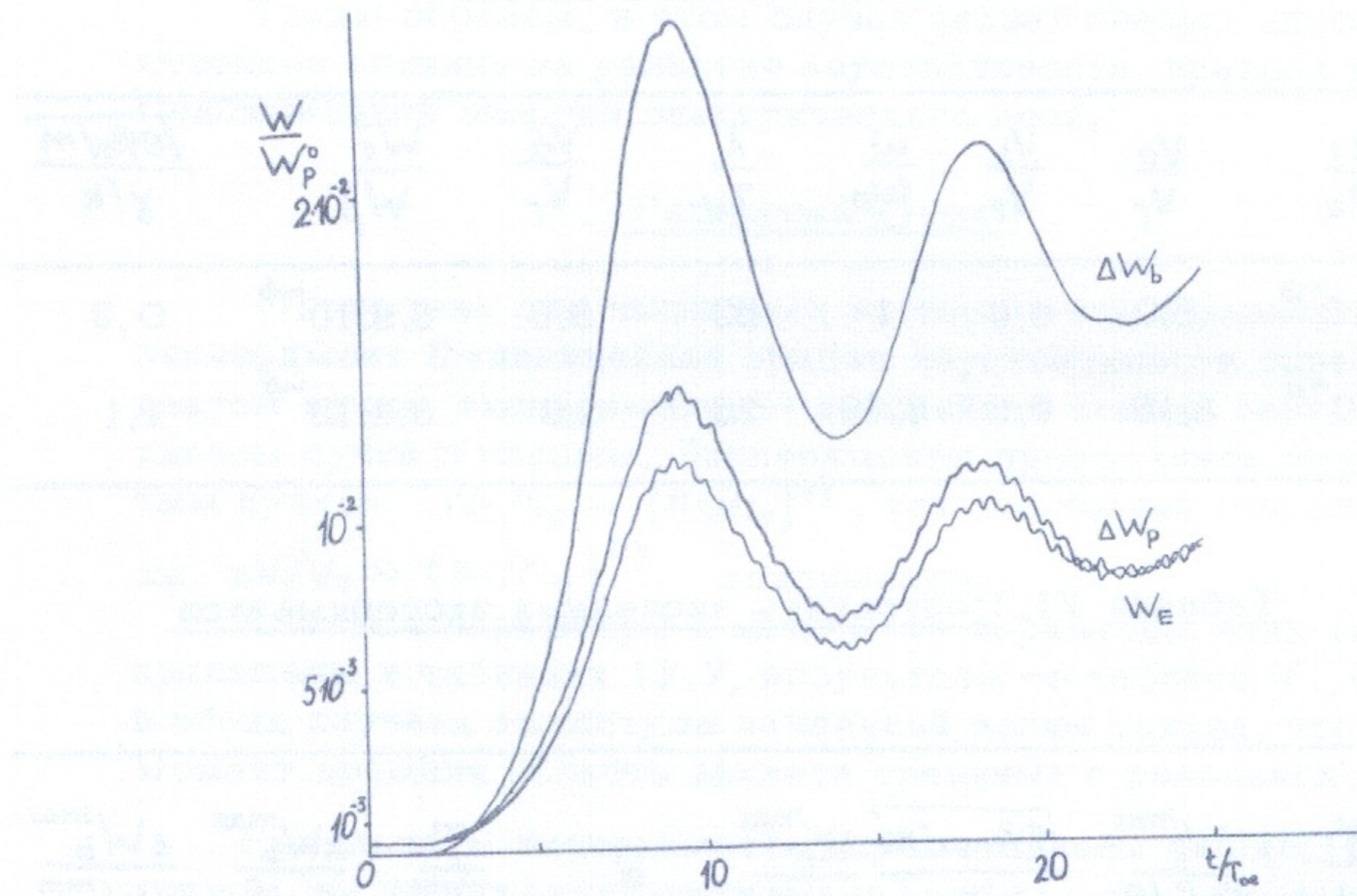


Рис.11

Зависимость W_E , ΔW_p , ΔW_b от времени; эксперимент 5.

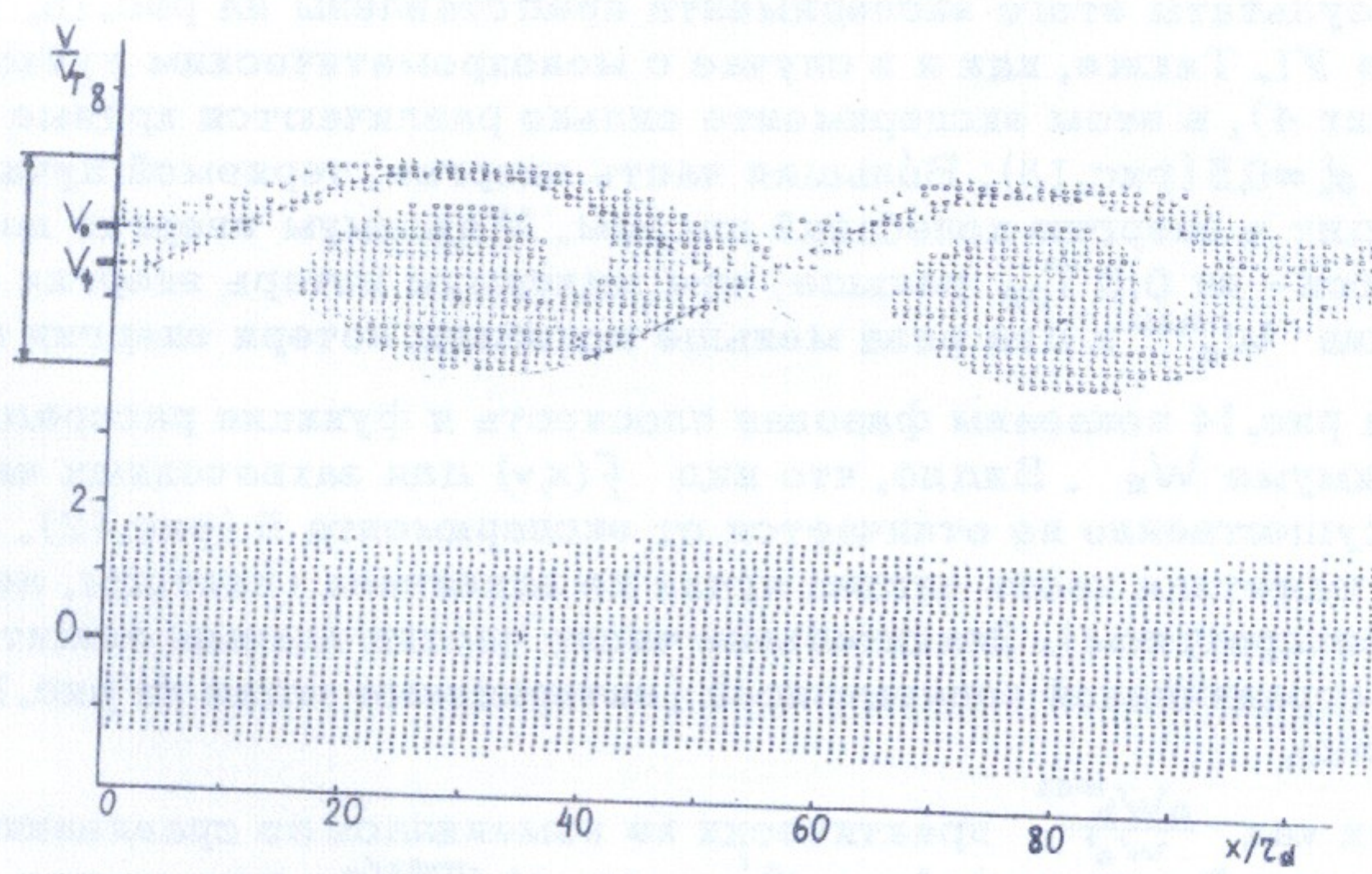
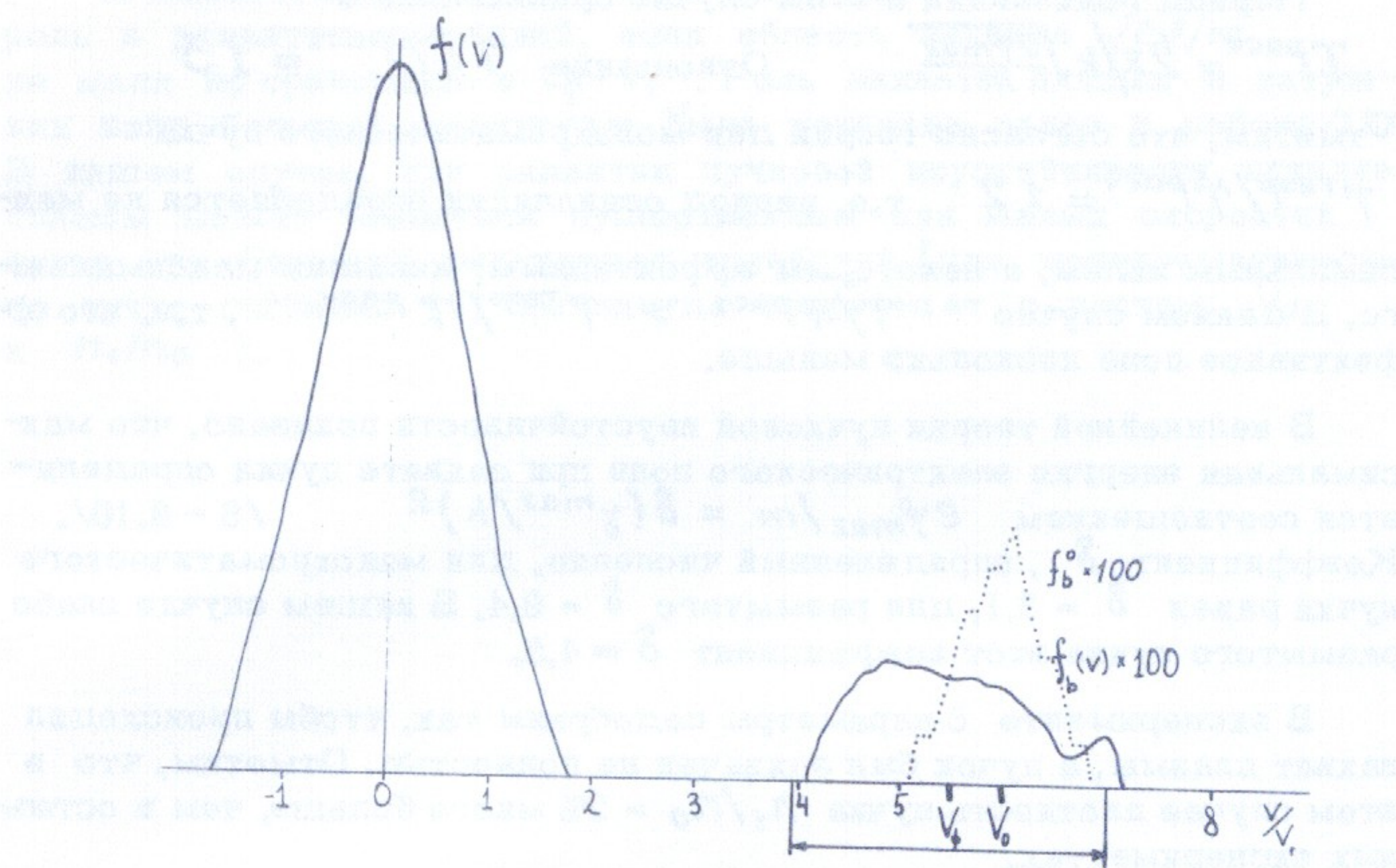


Рис. 12. Фазовая плоскость и функция распределения в максимуме энергии поля; эксперимент 5; $t = 9 T_{oe}$.
 — начальная функция распределения пучка.

Период осцилляции в этом случае сравнивался с
 $T_{расч} = 2\pi/k\sqrt{e\varphi_{max}/m}$. Отношение $T/T_{расч} \approx 1,3$

Отметим, что согласно теории для монохроматического пучка $T_{теор}/T_{расч} \approx 1,2$, т.е. период осцилляции определяется не максимальным полем, а некоторым эффективным, меньшим максимального. В данном случае $T/T_{расч} > T_{теор}/T_{расч}$, т.ч. это эффективное поле несколько меньше.

В нелинейной теории пучковой неустойчивости показано, что максимальная энергия электрического поля при захвате пучка определяется соотношением $e\varphi_{max}/m = \delta(\gamma_{max}/k)^2 / 6 - 8,10/$. Коэффициент δ , определенный численно, для монохроматического пучка равен $\delta = 3,1$, для размытого $\delta = 9,4$. В нашем случае слабо размытого пучка этот коэффициент $\delta \approx 4,5$.

В эксперименте 6 параметры подобраны так, чтобы происходил захват плазмы, а пучок был захвачен не полностью. Отметим, что в этом случае плотность пучка $n_1/n_0 = 2\%$ много больше, чем в остальных экспериментах.

Результаты этого эксперимента представлены на рис. 13, 14 и в таблице У1. Также, как и в случае с монохроматическим пучком (эксперимент 4), в этом эксперименте сильно различаются кривые W_E и ΔW_p , $\alpha = 0,5$ (рис. 13). Большая часть энергии, теряемой пучком (0,8) переходит в энергию колебаний плазмы. Максимум энергии поля достигается ~ на 0,6 T_{oe} раньше, чем максимум потерь энергии пучка. Величина W_E^{max} в два раза меньше половины потери энергии пучка.

На рис. 14 показаны фазовая плоскость и функция распределения в максимуме W_E . Видно, что вид $f(x, v)$ для захваченных частиц пучка существенно не отличается от эксперимента 5 (рис. 12). В этом случае заметная часть частиц пучка не захвачена (частицы, лежащие выше сепаратрисы). Значительное число частиц плазмы лежит в области, ограниченной сепаратрисой (зачерненные точки на рис. 14), т.е. захвачено.

Так как $\frac{\Delta W_p^{max}}{W_p^0}$ практически не изменилась по сравнению с экспериментом 5, можно найти φ'_{max} из $\Delta W_p^{max}/2$ для случая, когда плазма не играет роли. Оказывается, что $2\sqrt{e\varphi'_{max}/m} \sim \Delta V$, т.е. пучок должен быть захвачен полностью, если захвата плазмы нет.

Таким образом, захват плазмы играет существенную роль в развитии неустойчивости размытого пучка и приводит к уменьшению максимальной энергии электрического поля.

В заключение заметим, что плазма играет существенную роль в развитии колебаний, если область захвата $\sqrt{e\varphi/m}$ не мала по сравнению с $V_f - V_t$. Роль захвата плазмы в затухании волн большой амплитуды была показана ранее в работе /16/. В нашем случае, при развитии пучковой неустойчивости, влияние плазмы может оказаться существенным при малых скоростях пучка или больших амплитудах колебаний (для монохроматического пучка согласно (9) амплитуда возрастает с ростом V_0 и n_1/n_0).

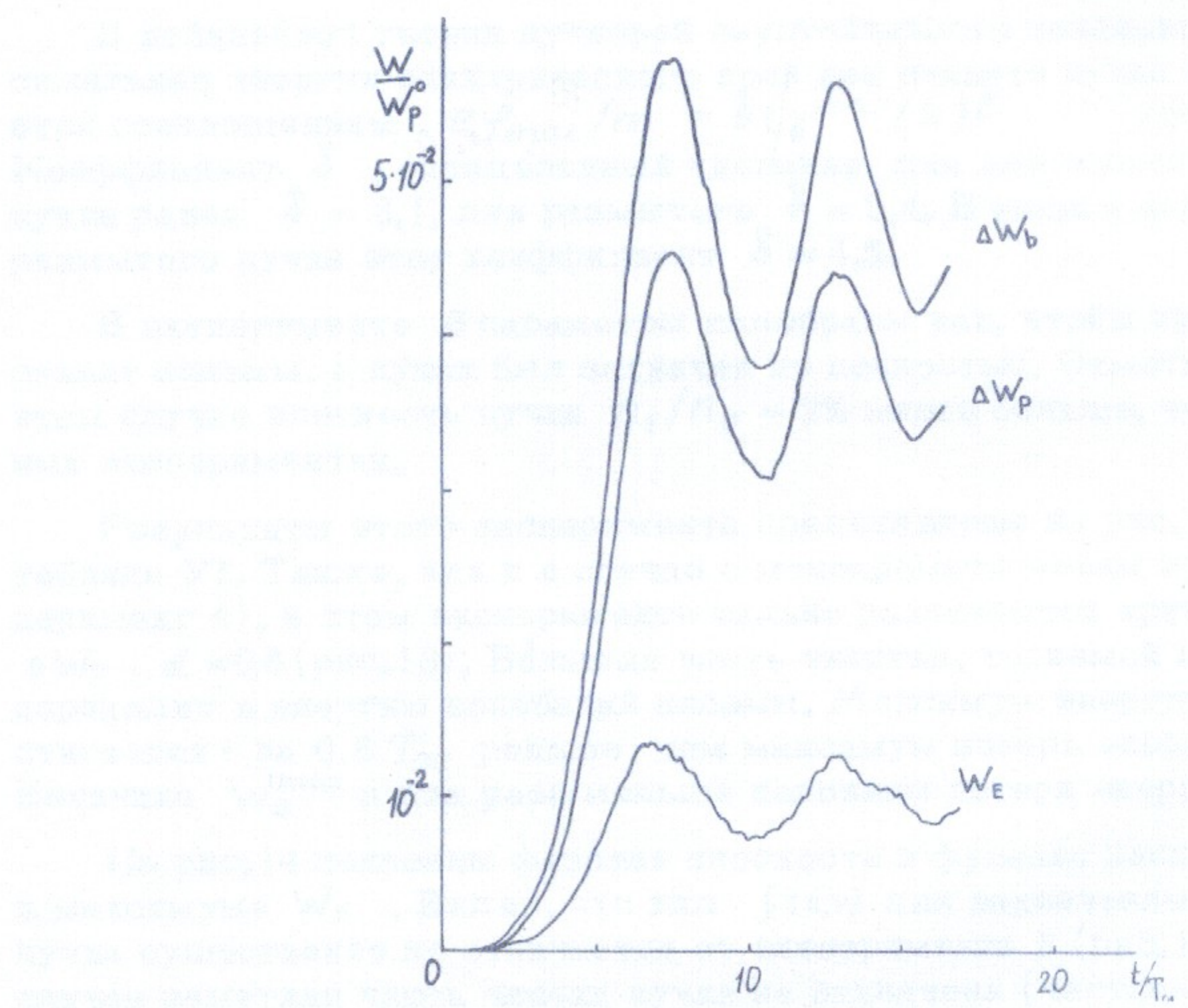


Рис.13.

Зависимость W_E , ΔW_p , ΔW_b от времени; эксперимент 6

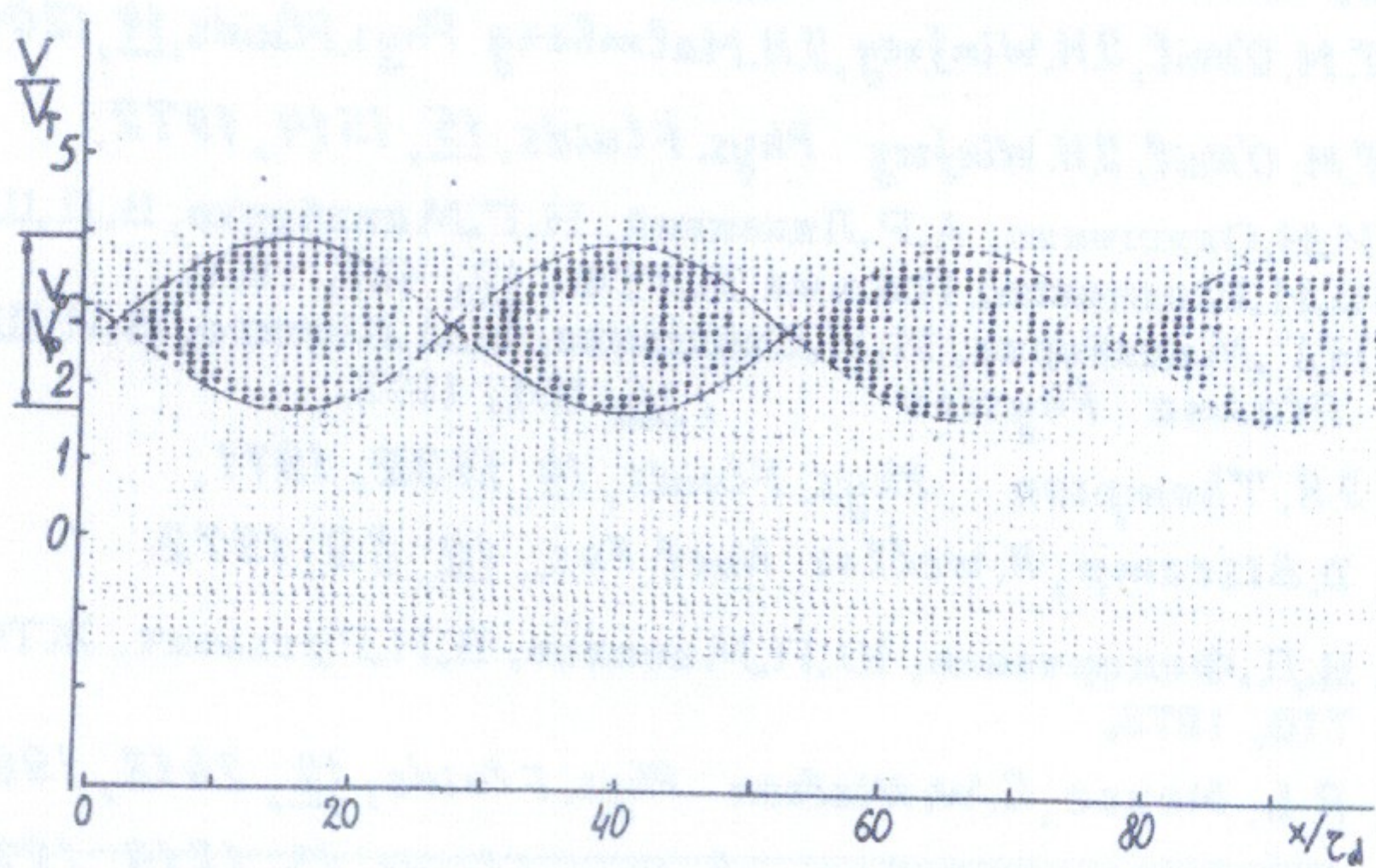
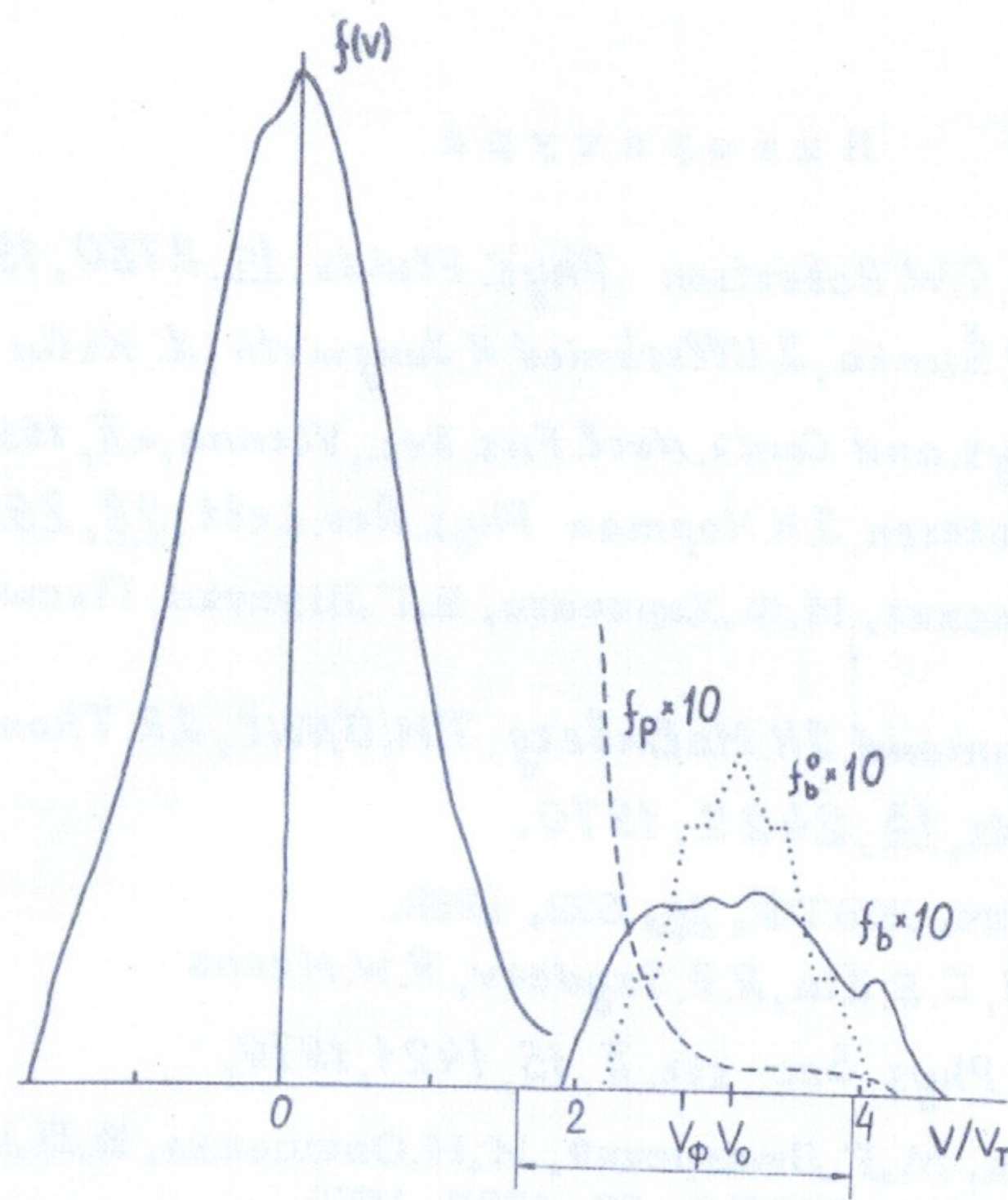


Рис.14. Фазовая плоскость и функция распределения в максимуме энергии поля; эксперимент 6; $t = 6,8 \text{ Toe}$.
 - начальная функция распределения пучка.

Л и т е р а т у р а

1. K.W.Gentle, C.W.Robertson *Phys. Fluids*, 14, 2780, 1971.
2. V.Piffle, P.Šunka, J.Ullschmied, K.Jungwirth, L.Krulin
Plasma Phys. and Contr. Nucl. Fus. Res., Vienna, v. II, 155, 1971.
3. J.H.A.van Wakeren, J.H.Norman *Phys. Rev. Lett.*, 28, 295, 1972.
4. В.А.Лавровский, И.Ф.Харченко, Е.Г.Шустин. Письма ЖЭТФ, 16, 602, 1972.
5. W.E.Drummond, J.H.Malmberg, T.M.O'Neil, J.R.Thompson
Phys. Fluids, 13, 2422, 1970.
6. А.В.Гуревич. ЖЭТФ, 54, 522, 1968.
7. B.D.Fried, C.S.Liu, R.Z.Sagdeev, R.W.Means
Bull. Am. Phys. Soc., ser. II, 15, 1421, 1970.
8. М.Б.Левин, М.Г.Любарский, И.Н.Онищенко, В.Д.Шapiro,
В.И.Шевченко. ЖЭТФ, 62, 1725, 1972.
9. Т.М.O'Neil, J.H.Winfrey, J.H.Malmberg *Phys. Fluids*, 14, 1204, 1971;
T.M.O'Neil, J.H.Winfrey *Phys. Fluids*, 15, 1514, 1972.
10. И.Н.Онищенко, А.Р.Линецкий, Н.Г.Мациборко, В.Д.Шapiro,
В.И.Шевченко. Письма ЖЭТФ, 12, 407, 1970.
Н.Г.Мациборко, И.Н.Онищенко, В.Д.Шapiro, В.И.Шевченко,
Plasma Physics, 14, 591, 1972.
11. J.R.Thompson *Phys. Fluids*, 14, 1532, 1971.
12. D.Biscamp, H.Welter *Nucl. Fus.*, 12, 89, 1972.
13. В.Д.Федорченко, Ю.П.Мазалов, Б.Н.Руткевич, ЖТФ, XIII,
710, 1973.
14. R.L.Morse, C.W.Nielson *Phys. Fluids*, 12, 2418, 1969.
15. J.A.Byers, M.S.Grewal *Phys. Fluids*, 13, 1819, 1970.
16. J.M.Dawson, R.Shanny *Phys. Fluids*, 11, 1506, 1968.

Ответственный за выпуск С.Н.РОДИОНОВ
Подписано к печати 23.XI-73 г. МН 17041
Усл. I, 3 печ.л., тираж 200 экз. Бесплатно.
Заказ № 105. ПРЕПРИНТ

Отпечатано на ротаприите в ИЯФ СО АН СССР, вг.